

Universidade Federal de Minas Gerais
Instituto de Ciências Exatas
Departamento de Ciência da Computação

PROJETO E ANÁLISE DE ALGORITMOS

Trabalho: disponível em:
<http://www.dcc.ufmg.br/~ruiter/paatp2>

Ruiter Braga Caldas
Professor - Nivio Ziviani

Belo Horizonte
10 de maio de 2004

Sumário

| | | |
|----------|--|-----------|
| 1 | O Problema da Mochila | 1 |
| 1.1 | Provar que o Problema da Mochila é NP-Completo | 2 |
| 1.2 | Mostrar que o Problema está em NP | 2 |
| 1.3 | Redução Polinomial | 2 |
| 2 | Solução usando Backtracking | 4 |
| 3 | Solução usando Programação Dinâmica | 6 |
| 4 | Solução usando o Método Guloso | 10 |
| 5 | Comparação entre os Métodos | 11 |
| 5.1 | Resposta para os Conjuntos de Dados | 13 |
| 6 | Estruturas de Dados | 15 |
| A | Código Fonte | 19 |
| B | Tabelas com tempos de execução | 27 |
| B.1 | Método Guloso | 27 |
| B.1.1 | Conjunto I | 27 |
| B.1.2 | Conjunto II | 28 |
| B.1.3 | Conjunto III | 29 |
| B.1.4 | Conjunto IV | 30 |
| B.2 | Método Dinâmico | 31 |
| B.2.1 | Conjunto I | 31 |
| B.2.2 | Conjunto II | 33 |
| B.2.3 | Conjunto III | 34 |
| B.2.4 | Conjunto IV | 35 |
| B.3 | Método Backtracking | 36 |
| B.3.1 | Conjunto I | 36 |
| B.3.2 | Conjunto II | 37 |
| B.3.3 | Conjunto III | 38 |
| B.3.4 | Conjunto IV | 39 |
| C | Tabelas com Utilidade Acumulada | 39 |
| C.1 | Conjunto I | 39 |
| C.2 | Conjunto I | 41 |
| C.3 | Conjunto I | 42 |
| C.4 | Conjunto I | 43 |

1 O Problema da Mochila

O problema da Mochila (*knapsack problem*) pode ser enunciado da seguinte forma: Dados um número $m \geq 0$, um inteiro positivo n e, para cada i em $\{1, \dots, n\}$, um número $v_i \geq 0$ e um número $w_i \geq 0$, encontrar um subconjunto S de $\{1, \dots, n\}$ que maximize $v(S)$ sob a restrição $w(S) \leq m$. Onde, $v(S)$ denota a soma $\sum_{i \in S} v_i$ e, analogamente, $w(S)$ denota a soma $\sum_{i \in S} w_i$.

Os números v_i e w_i podem ser interpretados como utilidade e peso respectivamente de um objeto i . O número m pode ser interpretado como a capacidade de uma mochila, ou seja, o peso máximo que a mochila comporta. O objetivo do problema é então encontrar uma coleção de objetos, a mais valiosa possível, que respeite a capacidade da mochila.

Este problema vem sendo estudado desde o trabalho de D.G. Dantzig[5], devido a sua utilização imediata na Indústria e na Gerencia Financeira, porém foi mais enunciado por razões teóricas, uma vez que este freqüentemente ocorre pela relaxação de vários problemas de programação inteira. Toda a família de **Problemas da Mochila** requer que um subconjunto de itens sejam escolhidos, de tal forma que o somatório das suas utilidades seja maximizado sem exceder a capacidade da mochila. Diferentes tipos de problemas da Mochila ocorrem dependendo da distribuição de itens e Mochilas como citado em [5]:

No problema da Mochila 0/1 (*0/1 Knapsack Problem*), cada item pode ser escolhido no máximo uma vez, enquanto que no problema da Mochila Limitado (*Bounded Knapsack Problem*) temos uma quantidade limitada para cada tipo de item. O problema da Mochila com Múltipla Escolha (*Multiple-choice Knapsack Problem*) ocorre quando os itens devem ser escolhidos de classes disjuntas, e se várias Mochilas são preenchidas simultaneamente temos o problema da Mochila Múltiplo (*Multiple Knapsack Problem*). A forma mais geral é o problema da Mochila com multi-restrições (*Multi-constrained Knapsack Problem*) o qual é basicamente um problema de Programação Inteira Geral com Coeficientes Positivos.

Todos os problemas da Mochila pertencem a família *NP-Hard*[5], significando que é muito improvável que possamos desenvolver algoritmos polinomiais para este problema. Porém, a despeito do tempo para o pior caso de todos os algoritmos terem tempo exponencial, diversos exemplos de grandes instâncias podem ser resolvidos de maneira ótima em fração de segundos. Estes resultados surpreendentes vem de várias décadas de pesquisa que tem exposto as propriedades estruturais especiais do Problema da Mochila, que tornam o problema tão relativamente fácil de resolver.

Neste trabalho todos os algoritmos apresentados resolvem o *Problema da Mochila 0/1*, que consiste em escolher n itens, tais que o somatório das utilidades é maximizado sem que o somatório dos pesos extrapolem a capacidade da Mochila. Isto pode ser formulado como o seguinte problema de maximizar :

$$\text{Maximizar } \sum_{j=1}^n u_j x_j$$

$$\text{Sujeito } \sum_{j=1}^n p_j x_j \leq M$$

$$x_j \in \{0, 1\}, j = 1 \dots n$$

onde x_j é uma variável binária igual a 1 se j deve ser incluído na mochila e 0 caso contrário.

1.1 Provar que o Problema da Mochila é NP-Completo

Para provar que um problema Π pertence a NP-Completo é necessário provar, de acordo com [6], que:

- o mesmo pertence a classe NP, apresentando em algoritmo não-determinista em tempo polinomial ou mostrando que uma dada solução pode ser verificada em tempo polinomial.
- Apresentar um redução em tempo polinomial de um problema NP-completo para o mesmo.

1.2 Mostrar que o Problema está em NP

Para provar que o *Problema da Mochila 0/1* pertence a classe NP vamos apresentar um algoritmo não-determinista que resolva o problema em tempo polinomial.

```
KNAPSACKND( $cM, uM, n, P[1..n], U[1..n], X[1..n]$ )
1  for  $i \leftarrow 1$  to  $n$ 
2  do
3     $X[i] \leftarrow escolhe(0, 1)$ ;
4  if ( $\sum_1^n P[i] * X[i] > cM$ ) OR ( $\sum_1^n U[i] * X[i] < uM$ )
5    then return Insucesso
6    else return Sucesso
```

O procedimento *KnapsackND* é um algoritmo Não-Determinista para o problema de decisão da Mochila. As linhas de 1-3 atribui o valor 0/1 para o vetor solução $X[i], 0 \leq i \leq n$. Na linha 4 é feito um teste para verificar se a atribuição dos pesos é viável e não ultrapassa a capacidade da Mochila cM e se o resultado da Utilidade é pelo menos uM . Uma solução com sucesso é encontrada se as restrições são satisfeitas. A complexidade de tempo deste procedimento é $O(n)$. Se m é o tamanho da entrada usando uma representação binária, o tempo é $O(m)$ [4].

1.3 Redução Polinomial

Vamos apresentar uma redução polinomial a partir de outro problema conhecido como NP-Completo para o problema da Mochila.

Antes de fazê-lo vamos dar uma versão de um problema de decisão para o PROBLEMA DA MOCHILA 0/1. O problema de Otimização difere do problema de Decisão somente na função de Otimização. Assim a versão de Decisão para o problema da Mochila é a seguinte:

Entrada: um conjunto de n itens, tal que todo i tem utilidade c_i e peso w_i , uma mochila tem capacidade W e um valor positivo C .

Questão: Existe um subconjunto $S \subseteq \{1, \dots, n\}$ de itens, tais que o peso total é no máximo W :

$$\sum_{i \in S} w_i \leq W$$

e o valor da utilidade total é pelo menos C :

$$c(S) = \sum_{i \in S} c_i \geq C?$$

Para provar que a versão de decisão do problema da Mochila é NP -completo vamos fazer uma redução polinomial a partir do problema MAXIMUM SUBSET SUM

Solução: A versão do problema de decisão para MAXIMUM SUBSET SUM é definida como apresentada em [3]:

Entrada: Um conjunto finito A , um tamanho inteiro positivo s_i para cada elemento $i \in A$, e um inteiro positivo B .

Questão: Existe um subconjunto $A' \subseteq A$ tal que

$$\sum_{i \in A'} s_i = B?$$

Como podemos notar, MAXIMUM SUBSET SUM é um caso especial do problema de Otimização do PROBLEMA DA MOCHILA 0/1 com $c_i = w_i$, como citado em [2].

A redução completa é como se apresenta a seguir:

Dados uma instância do problema SUBSET SUM, reduziremos esta para uma instância do PROBLEMA DA MOCHILA 0/1 da seguinte forma :

$$U = A, w_i = c_i = s_i, W = C = B$$

Esta redução é feita em tempo polinomial, desde que todas as atribuições são executadas em tempo polinomial. Desta forma uma, resposta para uma instância do problema da Mochila corresponde a uma resposta para o problema MAXIMUM SUBSET SUM.

- Uma resposta "sim" para uma instância do PROBLEMA DA MOCHILA 0/1 significa que existe um subconjunto $S' \subseteq U$ tal que

$$\sum_{i \in S'} w_i \leq W \text{ and } \sum_{i \in S'} c_i \geq C$$

Isto significa, usando a nossa transformação, que existe um subconjunto $A' \subseteq A$ tal que

$$B \leq \sum_{i \in A'} s_i \leq B.$$

Isto é,

$$\sum_{i \in A'} s_i = B.$$

Assim, por definição, é uma resposta "sim" para problema SUBSET SUM.

- Um resposta "Não" para o PROBLEMA DA MOCHILA 0/1, significa que tal conjunto não existe. O que é, exatamente, uma resposta negativa para o problema SUBSET SUM.

Assim mostramos que:

- o problema da Mochila está em NP e,
- existe uma redução polinomial a partir do problema MAXIMUM SUBSET SUM para o PROBLEMA DA MOCHILA 0/1.

Com isso provamos que PROBLEMA DA MOCHILA 0/1 é NP -Completo.

2 Solução usando Backtracking

Backtracking é uma estratégia para sistematicamente examinar a lista de possíveis soluções. A idéia do backtracking é eliminar a verificação explícita de uma boa parte dos possíveis candidatos. Para tanto, o problema deve respeitar as restrições que maximizam/minimizam alguma função de otimização. Os seguintes passos são respeitados:

1. Definir um espaço de solução para o problema. Este espaço de solução deve incluir pelo menos uma solução ótima para o problema.
2. Organizar o espaço de solução de forma que seja facilmente pesquisado. A organização típica é uma árvore.
3. Proceder a busca em profundidade.

Backtracking é uma estratégia que se aplica em problemas cuja solução pode ser definida a partir de uma seqüência de n decisões, que podem ser modeladas por uma árvore que representa todas as possíveis seqüências de decisão. De fato, se existir mais de uma disponível para cada uma das n decisões, a busca exaustiva da árvore é exponencial. A eficiência desta estratégia depende da possibilidade de limitar a busca, ou seja, podar a árvore, eliminando as sub-árvores que não levam a nenhuma solução. As soluções são representadas por n -tuplas ou vetores de solução (v_1, v_2, \dots, v_n) . Cada v_i é escolhido a partir de um conjunto finito de opções S_i . O algoritmo inicia com um vetor vazio e em cada etapa o vetor é estendido com um novo valor formando um novo vetor que pode representar uma solução parcial do problema. Na avaliação de um vetor (v_1, \dots, v_i) , se for constatado que ele não pode representar uma solução parcial, o algoritmo faz o backtracking, eliminando o último valor do vetor, e continua tentando estender o vetor com outros valores alternativos. Implementamos o algoritmo descrito em [4], este problema possui espaço de solução consistindo de 2^n maneiras distintas de atribuir zero ou um para o vetor de solução X . Este algoritmo faz uso de uma função limite para ajudar a eliminar alguns nós sem fazer a expansão deles. Uma boa função limite para este problema é obtida usando um limite superior com o valor da melhor solução viável obtida pela expansão de um nó ativo e qualquer dos seus descendentes. Se este limite superior não for maior que valor da melhor solução encontrada até o momento, então este nó pode ser eliminado. A função limite funciona da seguinte forma: Se num nó Z qualquer, o valor de $x_i, 1 \leq i \leq k$ já foi determinado, então um limite superior para Z pode ser obtido pela relaxação do requisito de $x_i = 0$ ou $x_i = 1$ por $0 \leq x_i \leq 1$ para os nós $k + 1 \leq i \leq n$ e usando um algoritmo guloso para resolver o problema da relaxação. A função *Limite* determina um limite superior sobre a melhor solução obtida pela expansão de um nó Z no nível $k + 1$ do espaço de estados.

```

LIMITE(ut, pt, k, M)
1  b ← ut
2  c ← pt
3  for i ← k + 1 to n
4  do
5      c ← c + P(i)
6      if c < M
7          then b ← b + U(i)
8          else return (b + (1 - (c - M)/P(i)) * U(i))
9  return b

```

O algoritmo seguinte implementa o método de Backtracking:

```

METODO_BACKTRACKING(M, n, P, I, pf, if, X)
1  pc ← ic ← 0
2  k ← 1
3  if ← -1
4  while 1 = 1
5  do
6      while (k ≤ n) & (pc + P(k) ≤ M)
7      do
8          pc ← pc + P(k)
9          ic ← ic + I(k)
10         Y(k) ← 1
11         k ← k + 1
12     if k > n
13         then if ← ic
14             pf ← pc
15             k ← n
16             X ← Y
17         else Y(k) ← 0
18     while Limite(ic, pc, k, M) ≤ if
19     do
20         while (k ≠ 0) & (Y(k) ≠ 1)
21         do
22             k ← k - 1
23         if k = 0
24             then return
25             Y(k) ← 0
26             pc ← pc - P(k)
27             ic ← ic - I(k)
28     k ← k + 1

```

O ordem de complexidade de espaço para este algoritmo é $O(2^n)$ de acordo com [4]. Da função Limite segue que o limite para um nó filho à esquerda viável de um nó Z é o mesmo para Z . Então a função Limite não precisa ser usada sempre que o algoritmo faz um movimento para o filho a esquerda de um nó. Desde que o algoritmo tentará fazer um movimento para a esquerda sempre que houver uma

escolha entre esquerda e direita, a função Limite será chamada somente depois de uma série de movimento com sucesso para os filhos a esquerda. Quando $if \neq -1$, $X(i)$, $1 \leq i \leq n$ é tal que $\sum_{i=1}^n I(i)X(i) = if$. No *while* nas linhas 6 a 11 movimentos sucessivos são feitos para filhos a esquerda viável. $Y(i) = 1$, $1 \leq i \leq n$ é o caminho para o nó corrente. $pc = \sum_{i=1}^{k-1} P(i)Y(i)$ e $ic = \sum_{i=1}^{k-1} I(i)Y(i)$. Se na linha 12, $k > n$ então $ic > if$ indicando que o caminho para esta folha terminou na última vez que a função Limite foi usada. Se $k \leq n$ então $P(i)$ não cabe e um movimento para um filho à direita deve ser feito. Então $Y(k)$ é marcado como 0 na linha 17. Se na linha 18, $Limite \leq n$, então o caminho corrente terminou e ele não pode levar a uma solução melhor que a encontrada até o momento. Nas linhas 20 a 22, retornamos ao longo do caminho para o nó mais recente a partir do qual um movimento não tentado pode ser feito. Se não existe este caminho então o algoritmo termina na linha 23-24. Caso contrário $Y(k)$, pc e ic são apropriadamente atualizados para corresponder a um movimento para a direita. O limite para este novo nó é calculado. O processo de retorno das linhas 18 a 27 continua até que um movimento é feito para um filho a direita a partir do qual exista uma possibilidade de obter uma solução com valor maior que if . Considerando o seguinte exemplo para o problema da Mochila: A

| n | 1 | 2 | 3 | 4 | 5 | 6 | 7 | 8 |
|---|----|----|----|----|----|----|----|----|
| U | 11 | 21 | 31 | 33 | 43 | 53 | 55 | 65 |
| P | 1 | 11 | 21 | 23 | 33 | 43 | 45 | 55 |

Figura 1: Exemplo para o Backtracking

árvore mostra as várias escolhas que são feitas para o vetor de solução parcial Y . O i -ésimo nível da árvore corresponde a uma atribuição 0 ou 1 para $Y(i)$, quando inclui ou exclui o Peso $P(i)$. Os dois números no nó são o peso corrente (pc) e a importância corrente (ic). O nós que não contem números tem peso e utilidade idêntico aos pais. O número de fora do nó a direita é o limite do nó. O limite dos nós a esquerda são os mesmos dos pais. A variável if do algoritmo é atualizada em cada nó A, B, C e D. Cada vez que if é atualizada, o vetor solução final X também é atualizado. Ao terminar $if = 159$ e $X=(1,1,1,0,1,1,0,0)$. Dos $2^9 - 1 = 511$ nós do espaço de estados da árvore somente 33 são gerados.

3 Solução usando Programação Dinâmica

Uma solução ótima baseada no método guloso é definida por uma seqüência de decisões locais ótimas, como pode ser visto na próxima seção. Quando o método guloso não funciona, uma possível saída seria a geração de todas as possíveis seqüências de decisões. E a melhor seqüência seria então escolhida, como no caso do Backtracking acima. Essa solução é de ordem exponencial e, portanto, ineficiente. Programação dinâmica é uma técnica que tem como objetivo diminuir o número de seqüências geradas. A programação dinâmica trata o número de combinações da seguinte forma: Vamos considerar n itens, dentre os quais devemos escolher r . Para escolher os r itens, podemos proceder de duas formas:

1. Escolher o primeiro item. Escolher depois $r - 1$ itens dos $n - 1$ itens restantes.

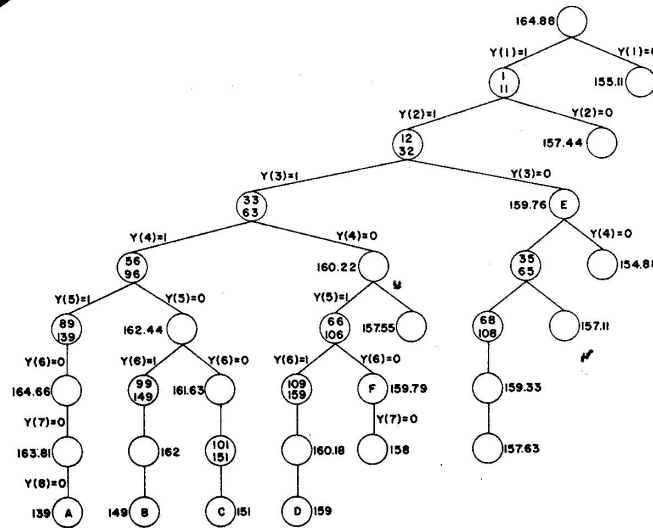


Figura 2: Árvore gerada pelo Algoritmo Guloso

2. Não escolher o primeiro ítem. Então devemos escolher r ítems dos $n - 1$ ítems restantes

Está solução pode ser traduzida da seguinte forma: $\binom{n}{r} = \binom{n-1}{r-1} + \binom{n}{r}$ Se usarmos uma estratégia de divisão e conquista para implementar esta solução obteremos um algoritmo com complexidade $O(2^n)$, sendo o maior problema desta abordagem o número de vezes que o mesmo problema é resolvido. Uma outra abordagem seria usar uma tabela para armazenar as soluções que vão se repetir, e é essa a idéia principal da programação dinâmica. Usando esta abordagem para o problema podemos melhorar a complexidade deste problema para $O(n^2)$. Sendo o projeto de uma algoritmo baseado em Programação Dinâmica dividido em duas partes:

1. Identificação

- determinar uma solução por divisão e conquista.
- Analisar e verificar que o tempo de execução é exponencial.
- Mesmo sub-problema resolvido várias vezes.

2. Construção

- Pegar a parte do algoritmo de divisão e conquista que corresponde à parte da conquista e substituir as chamadas recursivas por uma olhada na tabela.
- Em vez de retornar um valor, armazená-lo na tabela.
- Usar o caso base do algoritmo de divisão e conquista para inicializar a tabela.
- Determinar o padrão de preenchimento da tabela.
- Definir um laço que utiliza o padrão para preencher os demais valores da tabela.

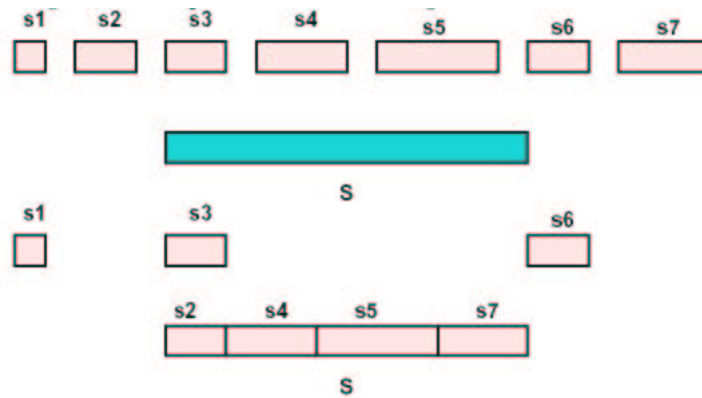


Figura 3: Instância para o Algoritmo de Programação Dinâmica

Vamos apresentar um exemplo do problema da Mochila onde a utilização da programação dinâmica permite encontrar a solução ótima. Sejam n itens de tamanhos s_1, s_2, \dots, s_n , conforme a Figura 3. A idéia é verificar se existe um subconjunto desses itens cujo tamanho total seja exatamente S . Numa solução por divisão e conquista, devemos ter problemas menores da mesma natureza. Podemos Generalizar para a situação em que temos i itens e o tamanho total é j . Para saber se retornamos verdadeiro, temos que analisar duas possibilidades:

1. O i -ésimo item é usado para completar o tamanho j .
2. O i -ésimo item não é usado e, portanto j é alcançado até os $i - 1$ primeiros itens.

Devemos usar uma tabela $t[n, S]$ para armazenar t , caso seja possível completar S com os n elementos. Caso não seja possível, preenchamos com f . Pelo definido acima uma célula $t[i, j]$ deve ser preenchida com t se uma das duas situações é verdadeira: $t[i - 1, j - s_i]$ ou $T[i - 1, j]$. O padrão de preenchimento seria então o mesmo apresentado na Figura 4

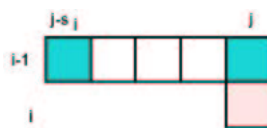


Figura 4: Padrão de preenchimento da tabela

Sendo assim a tabela final teria o formato da Figura 5:

O algoritmo utilizado na implementação foi extraído de:

- <http://www.mpi-sb.mpg.de/~rybal/armc-live-termin/node5.html>
- <http://www-cse.uta.edu/~holder/courses/cse2320/lectures/l15/node12.html>
- <http://www.cse.uni.edu/~goddard/Courses/CSCE310J>

| | | | | | | | | | | |
|---|----|----|---|---|---|---|---|---|---|----|
| | 0 | | | | | | | | | S |
| 0 | t | f | f | f | f | f | f | f | f | f |
| | 1 | 2 | 3 | 4 | 5 | 6 | 7 | 8 | 9 | 10 |
| | 11 | 12 | | | | | | | | |
| | | | | | | | | | | |
| | | | | | | | | | | |
| | | | | | | | | | | |
| | | | | | | | | | | |
| | | | | | | | | | | |
| n | | | | | | | | | | |

← Resposta

Figura 5: Formato Final da Tabela

```

METODO_DINÂMICO( $v[1..n], w[1..n], n, W$ )
1  for  $w \leftarrow 0$  to  $W$ 
2  do
3     $c[0, w] \leftarrow 0$ 
4  for  $i \leftarrow 1$  to  $n$ 
5  do
6     $c[i, 0] = 0$ 
7  for  $i \leftarrow 1$  to  $n$ 
8  do
9    for  $w \leftarrow 1$  to  $W$ 
10   do
11     if  $w[i] \leq w$ 
12     then
13       if  $v[i] + c[i - 1, w - w[i]] > c[i - 1, w]$ 
14       then
15          $c[i, w] = v[i] + c[i - 1, w - w[i]]$ 
16       else  $c[i, w] = c[i - 1, w]$ 
17     else  $c[i, w] = c[i - 1, w]$ 

```

Podemos deduzir a complexidade deste algoritmo através da manipulação que é executada em cada laço, sendo que os dois laços iniciais são apenas para inicializar a tabela, sendo o laço da linha 1 a 3 da ordem $O(W)$, onde W é a capacidade da Mochila, e o laço da linha 4 a 6 da ordem $O(n)$, onde n é o número de itens. Os laços seguintes realizam a construção da tabela, o laço da linha 7 a 17 executa $O(n)$ e o laço da linha 9 a 17 executa $O(W)$ vezes, sendo este algoritmo da ordem de $O(n * W)$. O algoritmo acima encontra apenas o maior valor possível que pode ser alocado na Mochila, para saber quais os itens que tornam este valor máximo outro algoritmo foi implementado:

```

BACKTRACE( $n, W$ )
1   $i \leftarrow n$ 
2   $j \leftarrow M$ 
3  while  $((i > 0) \& (j > 0))$ 
4  do if  $(c[i, j] <> c[i - 1, j])$ 
5      then  $X[i] \leftarrow 1$ 
6           $j \leftarrow j - w[i]$ 
7           $i - -$ 
8      else  $X[i] \leftarrow 0$ 
9           $i - -$ 

```

4 Solução usando o Método Guloso

O método Guloso é a técnica de projeto mais simples que pode ser aplicada a uma grande variedade de problemas. A grande maioria destes problemas possui n entradas e é requerido obter um subconjunto que satisfaça alguma restrição. Qualquer subconjunto que satisfaça esta restrição é chamado de solução viável. Queremos então encontrar uma solução viável que maximize ou minimize uma dada função objetivo. Uma solução viável que satisfaça a função objetivo é chamada de solução ótima. Existem maneiras óbvias de determinar uma solução viável, mas não necessariamente uma solução ótima[4]. O método Guloso sugere que podemos construir um algoritmo que trabalhe em estágios, considerando uma entrada por vez. Em cada estágio, uma decisão é tomada considerando se uma entrada particular é uma solução ótima. Isto é conseguido considerando as entradas numa ordem determinada por algum processo de seleção. Se a inclusão da próxima entrada na solução ótima construída parcialmente resultará numa solução inviável, então esta entrada não será adicionada a solução parcial. O processo de seleção em si é baseada em alguma medida de otimização. Esta medida pode ou não ser a função objetivo. Na verdade várias medidas de otimização diferentes podem aplicáveis para um determinado problema. Muitas destas, entretanto, resultarão em algoritmos que gerarão solução sub-ótimas.

O algoritmo escolhido para esta implementação usa a estratégias gulosas mais interessante, de acordo com [4], este estratégia faz uma negociação entre a taxa em que a utilidade decresce e o peso é usado. Em cada passo será incluído um objeto que tem a maior utilidade pro unidade de peso usado. Isto significa que o objeto será considerado na ordem decrescente da Maior Utilidade sobre o Peso ($U(i)/P(i)$). Se os objetos estiverem ordenado numa ordem decrescente de Utilidade sobre o Peso ($U(i)/P(i) \geq U(i + 1)/P(i + 1)$) o algoritmo abaixo, extraído de [4] e adaptado a partir da linha 9 a 13 para resolver o problema da Mochila 0/1, resolve o problema da Mochila usando a estratégia gulosa. Sem considerar o tempo de ordenação da entrada, que na implementação foi usado o algoritmo do *quicksort* extraído do livro [6], o algoritmo abaixo executa a estratégia gulosa em tempo $O(N)$. Esse algoritmo realiza os seguintes passos:

- o vetor solução X é inicializado;
- a capacidade utilizada da mochila é armazenado em *cum*;

- O primeiro laço *FOR*, da linha 3 a 8, colocando cada ítem na mochila, subtraindo o peso do ítem do valor de *cum*. Isso é feito até que a *cum* não comporte o próximo peso. Neste ponto todos os ítem de maior relação $U(i)/P(i)$ foram colocado na Mochila.
- O segundo laço *FOR*, da linha 9 a 13, muda de estratégia e procura nos ítems restantes aquele(s) que possua um peso que caiba no valor restante de *cum* para preencher o espaço da Mochila.

METODO_GULOSO($U[1..n], P[1..n], M, n$)

```

1  X ← 0
2  cum ← M
3  for i ← 1 to n
4  do
5      if P(i) > cum
6          then Exit;
7      X(i) ← 1;
8      cum ← cum - P(i)
9  for j ← i to n
10 do
11     if P(j) ≤ cum
12         then X(i) ← 1;
13         cum ← cum - P(j)

```

Apesar de muito muito interessante a estratégia gulosa não produz sempre soluções ótimas, e existem situações bem simples que o algoritmo é levado a escolher um ítem de maior relação $U(i)/P(i)$ que não faz parte da solução ótima, como no seguinte exemplo extraído de [1], com $n = 3$ e $M = 50$:

| n | 1 | 2 | 3 |
|-----|----|-----|-----|
| U | 60 | 100 | 120 |
| P | 10 | 20 | 30 |
| U/P | 6 | 5 | 4 |
| X | 0 | 0 | 0 |

Sempre que o algoritmo guloso for usado o ítem número 1 será colocado na Mochila, devido ao seu valor maior que os demais, sendo que este ítem não leva a uma solução. Sendo que o valor ótimo neste exemplo é 220, e os ítems 2 e 3:

| n | 1 | 2 | 3 | Max | n | 1 | 2 | 3 | Max | n | 1 | 2 | 3 | Max |
|-----|----|-----|-----|-----|-----|----|-----|-----|-----|-----|----|-----|-----|-----|
| U | 60 | 100 | 120 | 160 | U | 60 | 100 | 120 | 180 | U | 60 | 100 | 120 | 220 |
| P | 10 | 20 | 30 | 30 | P | 10 | 20 | 30 | 40 | P | 10 | 20 | 30 | 50 |
| U/P | 6 | 5 | 4 | | U/P | 6 | 5 | 4 | | U/P | 6 | 5 | 4 | |
| X | 1 | 1 | 0 | | X | 1 | 0 | 1 | | X | 0 | 1 | 1 | |

5 Comparação entre os Métodos

Neste trabalho fizemos os teste considerando a correlação entre os Pesos e as Utilidades que foram gerados aleatoriamente, conforme citado em [4] e [5]. Os testes

foram divididos em:

- Dados Não-Correlacionados - nas instâncias não existe correlação entre os Pesos e as Utilidade de um item. Tais instâncias ilustram as situações onde é razoável admitir que a Utilidade não depende dos Peso, por exemplo quando estamos fazendo uma mudança no caminhão: coisas pequenas podem ser mais valiosas que alguns itens volumosos. Instâncias não correlacionadas são mais fáceis de resolver, pois existe uma grande variação ente os pesos, tornando mais fácil obter uma Mochila cheia. Fica mais fácil eliminar numerosas variáveis pelo teste do limite ou por relações de dominância.
- Instâncias com Correlação Fraca - aqui a Utilidade é altamente correlacionada com o Peso. Tipicamente a Utilidade difere do Peso por uma faixa pequena. Tais instâncias são mais realistas em gerenciamento, desde que o retorno de um investimento geralmente é proporcional ao investimento somado com alguma variação. Uma alta correlação significa que é mais difícil eliminar variáveis pelo teste de limite. Apesar deste fato instâncias correlacionadas fracamente são mais fáceis de resolver pois existe uma grande faixa de variação de Pesos, tornando mais fácil preencher a Mochila e chegando mais perto da solução ótima.
- Instâncias com Correlação Forte - Tais instâncias correspondem a situações da vida real onde o retorno é uma função linear do investimento mais (ou menos) alguma parte imprecisa em cada projeto. Este tipo de correlação é difícil de resolver por duas razões: 1) Todos os itens que estão próximo do item de parada tem pesos similares, significando que é muito difícil combina-los de maneira a encher a Mochila. 2) Existe uma grande perda relativa quando removemos itens de pequeno peso para alocar um item de peso maior. Assim alta correlação são utilizadas para para avaliar a capacidade do algoritmo para resolver problemas difíceis.

Para os experimentos foram usados quatro conjuntos de dados fornecidos pelo colega "David Menoti Gomes". Os conjuntos foram utilizados porque foram gerados seguindo a orientação da referência [4]. Sendo os dois primeiros conjuntos de dados baseado na distribuição de dados não-correlacionados, sendo:

1. (I) Pesos e Utilidades distribuídos na faixa de [1-1000];
2. (II) Pesos e Utilidades distribuídos na faixa de [1-100];

O terceiro conjunto de dados é o conjunto altamente correlacionado, sendo os pesos distribuídos na faixa de [1-100] e a utilidade é o peso acrescido de uma valor constante, $U = P + 10$ (III).

O quarto conjunto de dados é fracamente correlacionado, sendo os pesos distribuídos na faixa de [1-100] e a utilidade calculada como como $U = 1,1 * P$ (IV).

Os experimentos seguiram a seguinte estratégia:

- Para cada n foram feitas 5 execuções, cada uma com 10 amostras, onde a distribuição dos pesos e utilidades é como definido anteriormente

$$n \in 10, 20, 30, 40, 50, 100, 200, 300, 400, 500$$

- Cada execução possui uma capacidade da Mochila na faixa de

$$M \in 10\%, 20\%, 30\%, 40\%, 50\%$$

do valor do total dos pesos.

- Foram gerados arquivos com as respostas, formatados da seguinte maneira: (Capacidade da Mochila, Media dos tempos, Maior tempo da amostra, Desvio padrão, No. Elementos).
- Para cada método foram gerados 10 arquivos de saída para cada conjunto de dados, sendo cada saída para um valor de n com cinco execuções variando a capacidade da Mochila, sendo cada execução feita 10 vezes.
- Os tempos estão em segundos.

5.1 Resposta para os Conjuntos de Dados

Os testes foram divididos de acordo com os conjunto dos dados e para os conjuntos foram gerados gráficos comparativos para cada valor dos

$$n \in (10, 20, 30, 40, 50, 100, 200, 300, 400, 500)$$

elementos e para capacidade da mochila variando de

$$M \in (10, 20, 30, 40, 50)$$

do valor total dos pesos. Todos os gráficos estão apresentados em anexo, apresentaremos alguns para apresentar os fatos encontrados nas execuções. Foram gerados tabelas para cada n , sendo que cada tabela apresenta o valor médio do tempo de resposta, o maior tempo gasto e o desvio padrão da amostra, as tabelas também estão em anexo.

Sendo que o tempo de execução do algoritmo Guloso tem se mostrado bastante competitivo quando aplicado aos conjuntos de dados I e II, como podemos observar na figura 10, onde não existe correlação entre os Pesos e Utilidades. O algoritmo de Backtracking também possui um tempo médio bastante competitivo em relação ao guloso. Neste caso ele sempre apresenta o valor ótimo juntamente com o algoritmo dinâmico, podemos verificar esta comparação na figura 7 . Sendo que quando os dados começam a ficar correlacionados, como ocorre nos conjuntos III e IV, o método guloso ainda mantém uma grande competitividade no tempo de execução, porém ele não apresenta sempre o valor ótimo, todas as tabelas estão em Anexo. Podemos verificar na tabela 8 a seguir com os valores acumulados das utilidades para uma execução dos três algoritmo no conjunto de dados III, para $n = (50, 100, 200, 400)$, podemos notar que para este conjunto de dados, a partir de 200 elementos o algoritmo de backtracking não consegue responder num espaço de tempo inferior a 10s, e a execução foi abortada:

Isto também pode ser notado na tabela 9 da execução para o conjunto de dados IV para $n = (50, 100, 200, 400)$, sendo que neste caso o Backtracking não consegue responder a partir de 100 elementos, tendo que ser abortado:

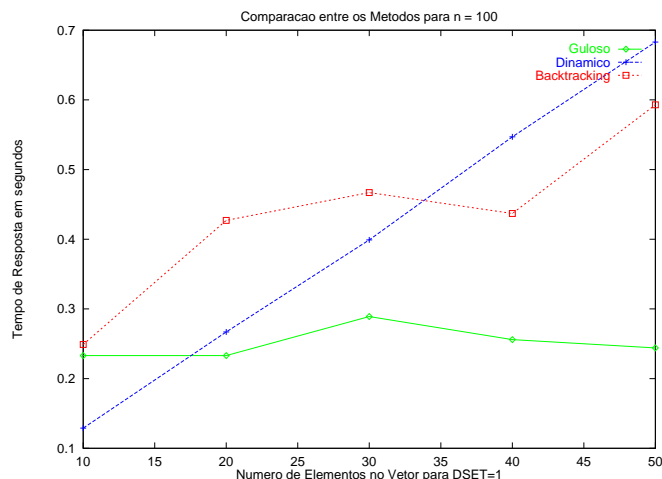


Figura 6: Conjunto de dados I , n=100

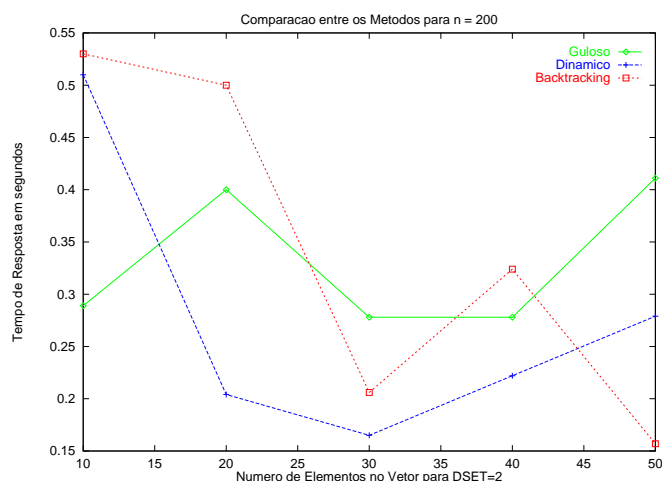


Figura 7: Conjunto de dados II , n=200

No conjunto de dados do tipo I e II o Backtracking consegue responder até 10.000 elementos, já nos conjuntos correlacionados o algoritmo de backtracking não consegue dar uma resposta quando o valor de n chega a 200 para o conjunto III e quando n chega a 100 para o conjunto IV. Nestes casos o algoritmo Dinâmico consegue apresentar melhores resultados. Conforme podemos observar nos gráficos gerados para os diversos valores de n , percebemos que os algoritmos são totalmente dependentes das entradas de dados, sendo que o comportamento de cada algoritmo pode variar bastante para o mesmo conjunto de dados. Sendo o que se apresenta melhor é o Algoritmo Dinâmico, apesar dele levar mais tempo para todas as instâncias é o mais estável com relação a respostas em todos os conjuntos de dados.

O que podemos concluir das execuções é que apesar de obtermos implementações interessantes para o problema da Mochila, qualquer dos algoritmos construídos não resolverá de maneira satisfatória o problema. Isso já era previsto, uma vez que o mesmo é NP-Completo.

| | DIN | BACK | GUL | |
|----|-----|-----------|----------|---------------|
| 1 | | | | |
| 2 | | | | |
| 3 | 10 | 3548.00 | 3548.00 | 3407.00 50 |
| 4 | 20 | 6368.00 | 6368.00 | 6155.00 50 |
| 5 | 30 | 9018.00 | 9018.00 | 8719.00 50 |
| 6 | 40 | 11617.00 | 11617.00 | 11382.00 50 |
| 7 | 50 | 14151.00 | 14151.00 | 13813.00 50 |
| 8 | | | | |
| 9 | 10 | 7206.00 | 7206.00 | 7095.00 100 |
| 10 | 20 | 12839.00 | 12839.00 | 12652.00 100 |
| 11 | 30 | 18235.00 | 18235.00 | 18025.00 100 |
| 12 | 40 | 23491.00 | 23491.00 | 23229.00 100 |
| 13 | 50 | 28658.00 | 28658.00 | 28353.00 100 |
| 14 | | | | |
| 15 | 10 | 14515.00 | | 14322.00 200 |
| 16 | 20 | 25872.00 | | 25699.00 200 |
| 17 | 30 | 36675.00 | | 36453.00 200 |
| 18 | 40 | 47200.00 | | 46964.00 200 |
| 19 | 50 | 57529.00 | | 57240.00 200 |
| 20 | | | | |
| 21 | 10 | 29204.00 | | 29061.00 400 |
| 22 | 20 | 52097.00 | | 51898.00 400 |
| 23 | 30 | 73881.00 | | 73570.00 400 |
| 24 | 40 | 95073.00 | | 94710.00 400 |
| 25 | 50 | 115910.00 | | 115741.00 400 |

Figura 8: Tabela com tempo de execução para Conjunto de dados III

6 Estruturas de Dados

Para a implementação dos três métodos citados acima, foi construída uma única estrutura de dados que foi utilizadas nas implementações. Construímos um único vetor que armazena os pesos, as utilidades, uma chave que é utilizada na rotina de ordenação, com o objetivo de manter o vetor na ordem decrescente da relação Utilidade/Peso, mantemos também alguns campos que armazenavam a solução que será atualizada para cada método, esta estrutura contém os seguintes itens:

- Um tipo registro (struct) para cada item, contendo o valor da Importância, o Peso, e uma Chave contendo a relação I/P, e três valores para armazenar o resultado para cada método, sendo 1-faz parte da solução, 0-não faz parte da solução: ResultG, ResultB, ResultD.
- Uma estrutura do chamada Vetor, que é um *array* de Itens, para armazenar os n elementos com suas Utilidades e Pesos.

Na execução do programa podemos definir se a entrada será feita via arquivo ou será gerada internamente, este controle é feito via a variável *LeArquivo*. Se *LeArquivo* = 1 a entrada é via arquivo, se *LeArquivo* = 0 a entrada será gerada internamente, através do procedimento *GeraVetor*. Neste caso o valor da capacidade da Mochila

| | DIN | BACK | GUL | |
|----|-----|-----------|----------|---------------|
| 1 | | | | |
| 2 | | | | |
| 3 | 10 | 2442.00 | 2442.00 | 2419.00 50 |
| 4 | 20 | 4875.00 | 4875.00 | 4850.00 50 |
| 5 | 30 | 7298.00 | 7298.00 | 7280.00 50 |
| 6 | 40 | 9723.00 | 9723.00 | 9705.00 50 |
| 7 | 50 | 12145.00 | 12145.00 | 12122.00 50 |
| 8 | | | | |
| 9 | 10 | 5042.00 | | 5031.00 100 |
| 10 | 20 | 10051.00 | | 10047.00 100 |
| 11 | 30 | 15054.00 | | 15051.00 100 |
| 12 | 40 | 20052.00 | | 20047.00 100 |
| 13 | 50 | 25045.00 | | 25035.00 100 |
| 14 | | | | |
| 15 | 10 | 10213.00 | | 10212.00 200 |
| 16 | 20 | 20347.00 | | 20340.00 200 |
| 17 | 30 | 30471.00 | | 30469.00 200 |
| 18 | 40 | 40575.00 | | 40571.00 200 |
| 19 | 50 | 50671.00 | | 50670.00 200 |
| 20 | | | | |
| 21 | 10 | 20284.00 | | 20283.00 400 |
| 22 | 20 | 40427.00 | | 40427.00 400 |
| 23 | 30 | 60540.00 | | 60538.00 400 |
| 24 | 40 | 80626.00 | | 80625.00 400 |
| 25 | 50 | 100686.00 | | 100686.00 400 |

Figura 9: Tabela com tempo de execução para Conjunto de dados IV

é calculado como metade do total dos pesos, conforme arquivo fonte em anexo. O valor dos pesos e das utilidades, quando gerados internamente, são gerados numa faixa controlada pela constante N que pode ser alterada. A capacidade do vetor é definido pela constante $MaxTam$, sendo que este valor é o limite e a quantidade dos objeto na Mochila são definidos pela variável $NoElementos$.

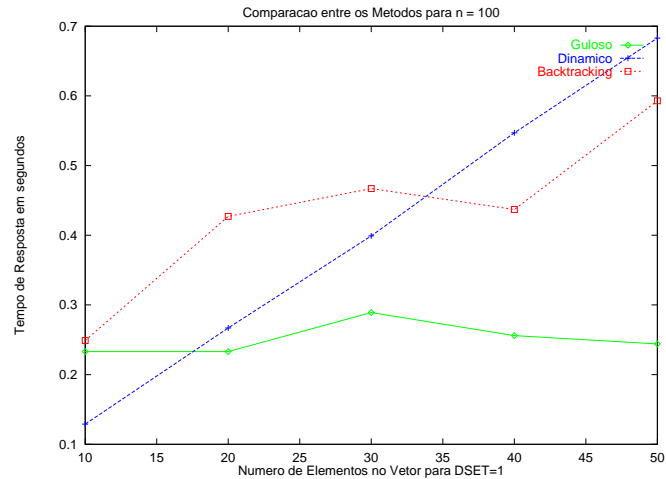


Figura 10: Conjunto de dados I , n=100

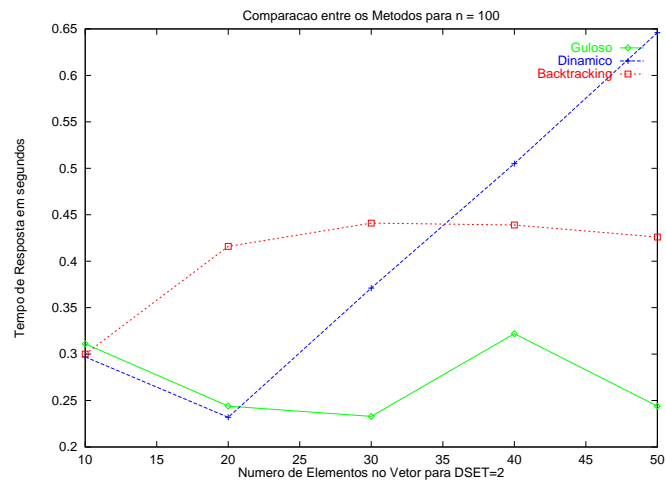


Figura 11: Conjunto de dados II , n=100

Referências

- [1] Thomas H. Cormen, Charles E. Leiserson, and Ronald L. Rivest. *Introduction to Algorithms*. MIT Press/McGraw-Hill, 1990.
- [2] Pierluigi Crescenzi and Viggo Kann. A compendium of NP-optimization problems
<http://www.nada.kth.se/viggo/wwwcompendium/wwwcompendium.html>.
- [3] Michael R. Garey and David S. Johnson. *Computers and Intractability: A Guide to the Theory of NP-Completeness*. W. H. Freeman, 1979.
- [4] Ellis Horowitz and Sartaj Sahni. *Fundamentals of Computer Algorithms*. Computer Science Press, 1978.
- [5] David Pisinger. *Algorithms fo Knapsack Problems*. PhD thesis, Department of Computer Science, University of Copenhagen, February 1995.

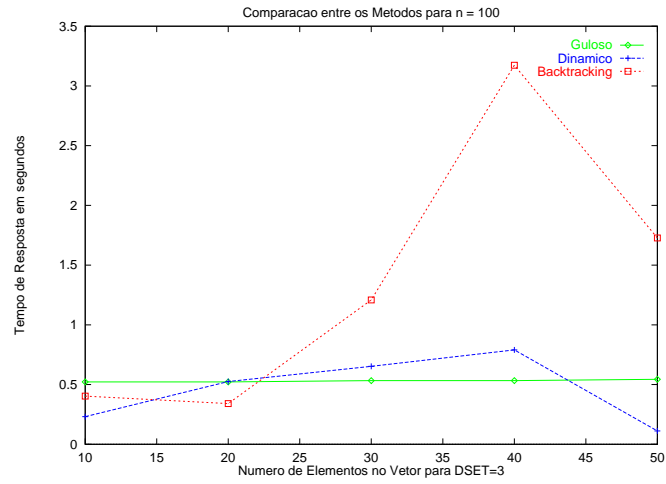


Figura 12: Conjunto de dados III , n=100

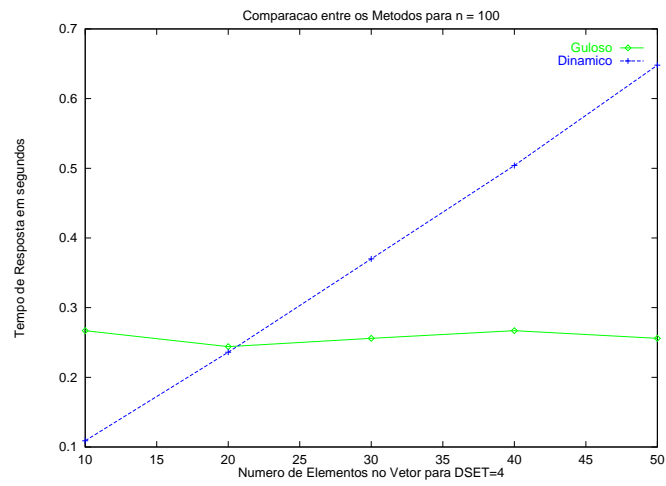


Figura 13: Conjunto de dados IV , n=100

[6] Nivio Ziviane. *Projeto de Algoritmos: com implementações em Pascal e C*. Pioneira Thomson Learning, 2ed., 2004.

```

1  #define MaxTam 1000 //Tamanho máximo do Vetor
2  #define N 500 //Maior valor Aleatorio
3  #define NoElementos 300//Quantidade de Elementos para a Mochila
4  #define LeArquivo 1 // 1 - via arquivo, 0-Gerado Randomicamente
5  typedef int Valor;
6  typedef struct Item {
7      Valor Importancia;
8      Valor Peso;
9      float Chave;
10     short ResultG;
11     short ResultB;
12     short ResultD;
13 } Item;
14 typedef int Indice;//Vetor de Registros
15 typedef Item Vetor[MaxTam+1];
16 Vetor Origem;

```

Figura 14: Trecho de código das principais definições

A Código Fonte

```

1  /* =====
2  2 Trabalho Pratico de PAA - 2004-1
3  aluno - Ruitter Braga Caldas
4  Progama que Executa tres metodos para resolver o problema da mochila:
5  Método Guloso e Backtracking desenvolvidos a aprtir do algoritmo
6  proposto em - E. Horowitz e S. Sahni, Fundamentals of Computer Algorithms,
7  Computer Science Press, 1978.
8  Método Dinâmico desenvolvido a partir dos códigos propostos em:
9  http://www-cse.uta.edu/~holder/courses/cse2320/lectures/l15/node12.html
10 http://www.mpi-sb.mpg.de/~rybal/armc-live-termin/node5.html
11 ===== */
12 #include <stdlib.h>
13 #include <stdio.h>
14 #include <sys/time.h>
15 #include <limits.h>
16 #include "time.h"
17 #define MaxTam 1000 //Tamanho máximo do Vetor
18 #define N 500 //Maior valor Aleatorio
19 #define NoElementos 300 //Quantidade de Elementos para a Mochila
20 #define LeArquivo 1 // 1 - via arquivo, 0 - Gerado Randomicamente
21 typedef int Valor;
22 /* =====
23 Estrutura tipo Registro que armazena os Pesos, Importancias,
24 Chave, e Resultados. Os resultados são armazenados de acordo com o metodo
25 ===== */
26 typedef struct Item {
27 Valor Importancia;

```

```

28     Valor Peso;
29     float Chave;
30     short ResultG;
31     short ResultB;
32     short ResultD;
33 } Item;
34
35 typedef int Indice;
36
37 //Vetor de Registros
38 typedef Item Vetor[MaxTam+1];
39     Vetor Origem;
40
41 //Peso Final do Método Backtracking
42 float Tpeso, Timportancia;
43 Indice i, n, k;
44
45 //Capacidade da Mochila
46 int M;
47 //Arquivos de Entrada e Saida
48 FILE* fp;
49 FILE* fs;
50 /* =====
51     Função QuickSort disponibilizada no livro
52     do Prof. Nivio Ziviane.(Projeto de Algoritmos/2004).
53     Foi Alterada para fazer a ordenacao Crescente.
54     ===== */
55 void Particao(Indice Esq, Indice Dir, Indice *i, Indice *j, Item *A)
56 { Item x, w;
57     *i = Esq; *j = Dir;
58     x = A[( *i + *j) / 2]; /* obtem o pivo x */
59     do
60     { while (x.Chave < A[*i].Chave) (*i)++;
61       while (x.Chave > A[*j].Chave) (*j)--;
62       if (*i <= *j)
63       { w = A[*i]; A[*i] = A[*j]; A[*j] = w;
64         (*i)++; (*j)--;
65       }
66     } while (*i <= *j);
67 }
68
69 void Ordena(Indice Esq, Indice Dir, Item *A)
70 { Indice i, j;
71     Particao(Esq, Dir, &i, &j, A);
72     if (Esq < j) Ordena(Esq, j, A);
73     if (i < Dir) Ordena(i, Dir, A);
74 }
75 void QuickSort(Item *A, Indice *n)
76 { Ordena(1, *n, A);
77 }

```

```

78 /* =====
79    O código foi copiado da biblioteca random
80    de Eric Roberts.(The Art and Science of C)
81    ===== */
82 int RandomInteger (int low, int high)
83 {
84     double k;
85     double d;
86     d = (double) rand () / ((double) RAND_MAX + 1);
87     k = d * (high - low + 1);
88     return (int)(low + k);
89 }
90 /* =====
91    Função que faz a impressão dos Pesos e Importancias no Métod Guloso
92    A impressão é dirigida pelo Valor de ResultG
93    ===== */
94 void ImprimeGuloso(Item *V, Indice *n)
95 { int Tp;
96   int Ti;
97   Tp=0;
98   Ti=0;
99   for (i = 1; i <= *n; i++)
100   {
101     if (V[i].ResultG)
102       fprintf(fs," %d %d\n",V[i].Peso,V[i].Importancia);
103   }
104 }
105 /* =====
106    Função que faz a impressão dos Pesos e Imports. no Métod Backtracking
107    A impressão é dirigida pelo Valor de ResultB
108    ===== */
109 void ImprimeBack(Item *V, Indice *n, double Tp, double Ti)
110 {
111   for (i = 1; i <= *n; i++)
112   {
113     if (V[i].ResultB)
114       fprintf(fs,"%d %d\n",V[i].Peso,V[i].Importancia);
115   }
116 }
117 /* =====
118    Função que faz a impressão dos Pesos e Importancias no Métod Dinâmico
119    A impressão é dirigida pelo Valor do ResultD
120    ===== */
121 void ImprimeDinamico(Item *V, Indice *n)
122 {int Tp;
123   int Ti;
124   Tp=0;
125   Ti=0;
126   for (i = 1; i <= *n; i++)
127   {

```

```

128         if (V[i].ResultD)
129             fprintf(fs, " %d %d\n",V[i].Peso,V[i].Importancia);
130     }
131 }
132
133 void CopiaDois(int Fonte[],Item *Destino, Indice *n)
134 { for (i = 1; i <= *n; i++)
135     Destino[i].ResultB = Fonte[i];
136 }
137 /* =====
138     Função que Gera Randomicamente o Vetor com os Pesos e Importancias,
139     faz o calculo da Chave=Importancia/Peso e Iniciaiza os Resultados.
140     O valor de M eh a metade do total dos pesos.
141     ===== */
142 void GeraVetor(Vetor A, Indice n,int *M)
143 { int i;
144     Valor pesoTotal;
145     pesoTotal=0;
146     for (i = 1; i <= n; i++) {
147         A[i].Importancia = RandomInteger(1,N);
148         A[i].Peso = RandomInteger(1,N);
149         A[i].ResultG = 0;
150         A[i].ResultB = 0;
151         A[i].ResultD = 0;
152         pesoTotal = pesoTotal + A[i].Peso;
153         A[i].Chave =(double)A[i].Importancia / (double)A[i].Peso;};
154         //Calcula o Valor da Mochila com 1/2 Pesos
155         *M=pesoTotal*1/2;
156     }
157 /* =====
158     Executa o Metodo Guloso
159     ===== */
160 void Guloso(Vetor A, Indice n, int M)
161 { int i,j, CM;
162     CM=M;
163     for (i = 1; i <= n; i++)
164     {
165         if (A[i].Peso > CM){
166             break;
167         }
168         A[i].ResultG = 1;
169         CM = CM - A[i].Peso;
170     }
171     j=i+1;
172     while (j <= n)
173     {
174         if (A[j].Peso <= CM)
175         {
176             CM = CM - A[j].Peso;
177             A[j].ResultG = 1;

```



```

178     }
179     j=j+1;
180 }
181 }
182 /* =====
183     Executa o Metodo Dinâmico
184     ===== */
185 //funcao Limite para o método
186 float Bound(Vetor A,float p, float w, int k, float M)
187 {
188     float b,c;
189     b = p;
190     c = w;
191     for (i = k + 1; i <= n; i++)
192     {
193         c = c + A[i].Peso;
194         if (c <= M){ b = b + A[i].Importancia;
195             }
196         else return (b + (1 -((c - M)/A[i].Peso))*A[i].Importancia);
197     }
198     return(b);
199 }
200 void BKnap(float M, Indice n, Vetor A, float *fw, float *fp)
201 { int k, Y[n];
202     float cw,cp;
203
204     cw = 0.0;
205     cp = 0.0;
206     k = 1;
207     *fp = -1;
208
209     while (1)
210     {
211         while (( k <= n ) && ( (cw + A[k].Peso) <= M ))
212         {
213             cw = cw + A[k].Peso;
214             cp = cp + A[k].Importancia;
215             Y[k]= 1;
216             k = k + 1;
217         }
218         if (k > n)
219         { *fp = cp;
220             *fw = cw;
221             k = n;
222             CopiaDois(Y,A,&n);
223         }
224         else Y[k]=0;
225         while (Bound(A,cp,cw,k,M) <= *fp)
226         {
227             while (k != 0 && Y[k] != 1)

```

```

228         {
229             k = k - 1;
230         };
231         if ( k == 0 ) return;
232         Y[k] = 0;
233         cw = cw - A[k].Peso;
234         cp = cp - A[k].Importancia;
235     }//while (Bound)
236     k = k + 1;
237 }//while(1)
238 }
239 /* =====
240     Executa o Metodo Dinâmico
241     ===== */
242 void Dinamico(Item *A, Indice n, int M)
243 { int j;
244   int c;
245   int **a;
246   Indice i;
247
248   a = (int **) calloc(n+1,sizeof(int *));
249   for( i=0; i<n+1; i++ )
250       a[i] = (int *) calloc( M+1, sizeof(int));
251   //IniciaMatriz
252   for ( i = 0; i <= n; i++)
253       for ( j = 0; j <= M; j++) a[i][j] = -1;
254   //Inicializa Linha
255   for(c = 0; c <= M; c++)a[0][c] = 0;
256   //Inicializa Coluna
257   for(i = 0; i <= n; i++)a[i][0] = 0;
258   for(i = 1; i <= n; i++)
259   {
260       for (c = 1; c <= M; c++)
261       {
262           if (A[i].Peso <= c)
263           {
264               if ((A[i].Importancia + a[i-1][c-A[i].Peso]) > a[i-1][c] )
265               {
266                   a[i][c] = A[i].Importancia + a[i-1][c-A[i].Peso];
267               }
268               else
269               {
270                   a[i][c] = a[i-1][c];
271               }
272           }
273           else
274           {
275               a[i][c] = a[i-1][c];
276           }
277       }

```

```

278     }
279 //Calcula os elementos que fazem parte da Resposta
280     i=n;
281     j=M;
282     while ((i > 0) && (j > 0))
283     {
284         if (a[i][j] != a[i-1][j])
285         {
286             A[i].ResultD = 1;
287             j=j-A[i].Peso;
288             i--;
289         }
290     else{
291         A[i].ResultD = 0;
292         i--;
293     }
294 }
295 for( i=0; i < n+1; i++ )
296     free(a[i]);
297 free(a);
298 }
299
300 /* =====
301     Função Principal. Deve receber como chamada a primeira letra do Metodo
302     G - Guloso, B - Backtracking, D - Dinamico.
303     A variável LeArquivo deve ser setada antes:
304         1 - Le os dados do arquivo chamado avaliacao.tp2
305         0 - Gera os dados num vetor de Pesos e Importancias
306     Quando os dados sao gerados, a quantidade de elementos no vetor de
307     pesos/importancias fica determinada pela variavel NoElementos=200.
308     O peso da Mochila( M ) fica determinado pela metade das soma dos pesos
309     gerados.
310     O tamanho do maior vetor eh determinado pela variável MaxTam=1000
311     O faixa de valore para os pesos/importancias eh determinado pela
312     variavel N=500.
313     ===== */
314 int main(int argc, char * argv[])
315 {
316     srand((int)time(NULL));
317     //Inicializa a Capacidade da Mochila
318     M=0;
319     //Verifica se a entrada sera via Arquivo ou Geracao Randomica
320     if (LeArquivo)
321     {
322         if ((fp = fopen("avaliacao.tp2", "r")) == NULL)
323             fprintf(stderr, "ERRO na Abertura do Arquivo de Entrada\n");
324     else
325     {
326         printf("Arquivo de Entrada aberto com Sucesso.\n");
327         i = 1 ;

```

```

328         //Le o numero de elementos do Vetor
329         fscanf(fp, "%d", &n);
330         fscanf(fp, "%d", &M);
331         while(!feof(fp) && i <=n)
332         {
333             /* */
334             fscanf(fp, "%d", &Origem[i].Peso);
335             fscanf(fp, "%d", &Origem[i].Importancia);
336             Origem[i].Chave =(double)Origem[i].Importancia /
337             (double)Origem[i].Peso;
338             i++;
339         }
340     }
341 }
342 else
343 {
344     //Numero de elementos do Vetor
345     n=NoElementos;
346     // Gera o Vetor com os Pesos, Importancia
347     // e Calcula a Capacidade da Mochila
348     GeraVetor(Origem,n,&M);
349 }
350 if (argc == 1) fprintf(stderr,"ERRO: Precisa Informar um Metodo (G/B/D) \n");
351 else{
352     //Ordena em Orden Crescente de Imp/Peso
353     QuickSort(Origem,&n);
354     switch (*argv[1]){
355     case 'G'://Chama Metodo Guloso
356         fprintf(stderr, "Guloso\n");
357         startTimer();
358         Guloso(Origem,n,M);
359         finishTimer();
360         showTimes();
361         //Abre o Arquivo de Saida
362         if ((fs = fopen("saidag", "w")) == NULL)
363             fprintf(stderr, "ERRO na Abertura do Arquivo de Saida\n");
364         ImprimeGuloso(Origem,&n);
365         break;
366     case 'B'://Chama Metodo Backtracking
367         fprintf(stderr, "Backtracking\n");
368         Tpeso = 0.0;
369         Timportancia = 0.0;
370         startTimer();
371         BKnap(M,n,Origem,&Tpeso,&Timportancia);
372         finishTimer();
373         showTimes();
374         //Abre o Arquivo de Saida
375         if ((fs = fopen("saidab", "w")) == NULL)
376             fprintf(stderr, "ERRO na Abertura do Arquivo de Saida\n");
377         ImprimeBack(Origem,&n,Tpeso,Timportancia);

```

```

378         break;
379     case 'D': //Chama Metodo Dinâmico
380         fprintf(stderr, "Dinamico\n");
381         startTimer();
382         Dinamico(Origem, n, M);
383         finishTimer();
384         showTimes();
385         //Abre o Arquivo de Saida
386         if ((fs = fopen("saidad", "w")) == NULL)
387             fprintf(stderr, "ERRO na Abertura do Arquivo de Saida\n");
388         ImprimeDinamico(Origem, &n);
389         break;
390     default :fprintf(stderr,"ERRO: Método Não informado (G/B/D) \n");
391     }}
392     fclose(fp);
393     fclose(fs);
394     return 0;
395 }
396

```

B Tabelas com tempos de execução

B.1 Método Guloso

B.1.1 Conjunto I

| | M | media | max | desv. | n |
|----|----|-------|-------|-------|----|
| 1 | 10 | 0.256 | 0.700 | 0.059 | 10 |
| 2 | 20 | 0.278 | 0.500 | 0.024 | 10 |
| 3 | 30 | 0.244 | 0.500 | 0.059 | 10 |
| 4 | 40 | 0.256 | 0.600 | 0.059 | 10 |
| 5 | 50 | 0.422 | 1.000 | 0.236 | 10 |
| 6 | 10 | 0.667 | 1.000 | 0.354 | 20 |
| 7 | 20 | 0.333 | 1.000 | 0.141 | 20 |
| 8 | 30 | 0.511 | 1.000 | 0.519 | 20 |
| 9 | 40 | 0.589 | 1.000 | 0.436 | 20 |
| 10 | 50 | 0.622 | 1.000 | 0.342 | 20 |
| 11 | 10 | 0.344 | 1.000 | 0.153 | 30 |
| 12 | 20 | 0.489 | 1.000 | 0.306 | 30 |
| 13 | 30 | 0.511 | 1.000 | 0.118 | 30 |
| 14 | 40 | 0.500 | 1.000 | 0.530 | 30 |
| 15 | 50 | 0.489 | 1.000 | 0.306 | 30 |
| 16 | 10 | 0.767 | 1.000 | 0.247 | 40 |
| 17 | 20 | 0.411 | 1.000 | 0.224 | 40 |
| 18 | 30 | 0.233 | 0.500 | 0.035 | 40 |
| 19 | 40 | 0.422 | 1.000 | 0.236 | 40 |
| 20 | 50 | 0.367 | 1.000 | 0.177 | 40 |
| 21 | 10 | 0.589 | 1.000 | 0.436 | 50 |
| 22 | 20 | 0.400 | 1.000 | 0.212 | 50 |
| 23 | | | | | |

| | | | | | |
|----|----|-------|-------|-------|-----|
| 24 | 30 | 0.300 | 0.500 | 0.106 | 50 |
| 25 | 40 | 0.411 | 1.000 | 0.625 | 50 |
| 26 | 50 | 0.311 | 1.000 | 0.118 | 50 |
| 27 | 10 | 0.322 | 0.500 | 0.130 | 100 |
| 28 | 20 | 0.233 | 0.500 | 0.035 | 100 |
| 29 | 30 | 0.244 | 0.400 | 0.047 | 100 |
| 30 | 40 | 0.322 | 0.500 | 0.024 | 100 |
| 31 | 50 | 0.244 | 0.600 | 0.047 | 100 |
| 32 | 10 | 0.289 | 0.500 | 0.094 | 200 |
| 33 | 20 | 0.400 | 0.600 | 0.106 | 200 |
| 34 | 30 | 0.389 | 0.900 | 0.012 | 200 |
| 35 | 40 | 0.400 | 0.800 | 0.106 | 200 |
| 36 | 50 | 0.444 | 0.700 | 0.059 | 200 |
| 37 | 10 | 0.367 | 0.900 | 0.071 | 300 |
| 38 | 20 | 0.344 | 0.600 | 0.047 | 300 |
| 39 | 30 | 0.478 | 0.700 | 0.130 | 300 |
| 40 | 40 | 0.456 | 0.900 | 0.059 | 300 |
| 41 | 50 | 0.411 | 0.700 | 0.012 | 300 |
| 42 | 10 | 0.422 | 0.800 | 0.401 | 400 |
| 43 | 20 | 0.511 | 0.900 | 0.118 | 400 |
| 44 | 30 | 0.433 | 0.700 | 0.035 | 400 |
| 45 | 40 | 0.433 | 0.700 | 0.035 | 400 |
| 46 | 50 | 0.501 | 0.700 | 0.107 | 400 |
| 47 | 10 | 0.433 | 0.700 | 0.035 | 500 |
| 48 | 20 | 0.489 | 0.700 | 0.012 | 500 |
| 49 | 30 | 0.644 | 0.900 | 0.259 | 500 |
| 50 | 40 | 0.500 | 0.800 | 0.000 | 500 |
| 51 | 50 | 0.533 | 0.700 | 0.035 | 500 |

B.1.2 Conjunto II

| | M | media | max | desv. | n |
|----|----|-------|-------|-------|----|
| 1 | | | | | |
| 2 | 10 | 0.244 | 0.500 | 0.047 | 10 |
| 3 | 20 | 0.256 | 0.600 | 0.059 | 10 |
| 4 | 30 | 0.256 | 0.500 | 0.059 | 10 |
| 5 | 40 | 0.233 | 0.500 | 0.035 | 10 |
| 6 | 50 | 0.322 | 1.000 | 0.719 | 10 |
| 7 | 10 | 0.244 | 0.600 | 0.047 | 20 |
| 8 | 20 | 0.767 | 1.000 | 0.601 | 20 |
| 9 | 30 | 0.667 | 1.000 | 0.354 | 20 |
| 10 | 40 | 0.356 | 1.000 | 0.165 | 20 |
| 11 | 50 | 0.500 | 1.000 | 0.318 | 20 |
| 12 | 10 | 0.489 | 1.000 | 0.306 | 30 |
| 13 | 20 | 0.600 | 1.000 | 0.424 | 30 |
| 14 | 30 | 0.511 | 1.000 | 0.519 | 30 |
| 15 | 40 | 0.667 | 1.000 | 0.495 | 30 |
| 16 | 50 | 0.422 | 1.000 | 0.024 | 30 |
| 17 | 10 | 0.356 | 1.000 | 0.684 | 40 |
| 18 | 20 | 0.400 | 1.000 | 0.212 | 40 |
| 19 | 30 | 0.578 | 1.000 | 0.401 | 40 |

| | | | | | |
|----|----|-------|-------|-------|-----|
| 20 | 40 | 0.289 | 0.700 | 0.094 | 40 |
| 21 | 50 | 0.500 | 1.000 | 0.318 | 40 |
| 22 | 10 | 0.411 | 1.000 | 0.224 | 50 |
| 23 | 20 | 0.467 | 1.000 | 0.283 | 50 |
| 24 | 30 | 0.489 | 1.000 | 0.306 | 50 |
| 25 | 40 | 0.578 | 1.000 | 0.401 | 50 |
| 26 | 50 | 0.356 | 1.000 | 0.165 | 50 |
| 27 | 10 | 0.222 | 0.400 | 0.024 | 100 |
| 28 | 20 | 0.233 | 0.400 | 0.035 | 100 |
| 29 | 30 | 0.322 | 0.500 | 0.130 | 100 |
| 30 | 40 | 0.267 | 0.600 | 0.071 | 100 |
| 31 | 50 | 0.278 | 0.600 | 0.082 | 100 |
| 32 | 10 | 0.378 | 0.600 | 0.024 | 200 |
| 33 | 20 | 0.289 | 0.500 | 0.012 | 200 |
| 34 | 30 | 0.300 | 0.500 | 0.000 | 200 |
| 35 | 40 | 0.378 | 0.600 | 0.024 | 200 |
| 36 | 50 | 0.367 | 0.800 | 0.071 | 200 |
| 37 | 10 | 0.333 | 0.600 | 0.035 | 300 |
| 38 | 20 | 0.411 | 0.600 | 0.094 | 300 |
| 39 | 30 | 0.433 | 0.800 | 0.035 | 300 |
| 40 | 40 | 0.356 | 0.600 | 0.059 | 300 |
| 41 | 50 | 0.467 | 0.700 | 0.141 | 300 |
| 42 | 10 | 0.467 | 0.800 | 0.071 | 400 |
| 43 | 20 | 0.422 | 0.700 | 0.024 | 400 |
| 44 | 30 | 0.388 | 0.600 | 0.210 | 400 |
| 45 | 40 | 0.556 | 1.000 | 0.059 | 400 |
| 46 | 50 | 0.456 | 0.700 | 0.059 | 400 |
| 47 | 10 | 0.422 | 0.600 | 0.024 | 500 |
| 48 | 20 | 0.524 | 0.700 | 0.132 | 500 |
| 49 | 30 | 0.478 | 0.700 | 0.082 | 500 |
| 50 | 40 | 0.511 | 0.800 | 0.012 | 500 |
| 51 | 50 | 0.722 | 1.000 | 0.236 | 500 |

B.1.3 Conjunto III

| | M | media | max | desv. | n |
|----|----|-------|-------|-------|----|
| 1 | | | | | |
| 2 | 10 | 0.222 | 0.400 | 0.024 | 10 |
| 3 | 20 | 0.233 | 0.500 | 0.035 | 10 |
| 4 | 30 | 0.244 | 0.500 | 0.047 | 10 |
| 5 | 40 | 0.244 | 0.500 | 0.047 | 10 |
| 6 | 50 | 0.244 | 0.500 | 0.047 | 10 |
| 7 | 10 | 0.578 | 1.000 | 0.448 | 20 |
| 8 | 20 | 0.489 | 1.000 | 0.306 | 20 |
| 9 | 30 | 0.522 | 1.000 | 0.342 | 20 |
| 10 | 40 | 0.422 | 1.000 | 0.236 | 20 |
| 11 | 50 | 0.489 | 1.000 | 0.306 | 20 |
| 12 | 10 | 0.522 | 1.000 | 0.236 | 30 |
| 13 | 20 | 0.256 | 0.500 | 0.059 | 30 |
| 14 | 30 | 0.278 | 0.600 | 0.024 | 30 |
| 15 | 40 | 0.244 | 0.500 | 0.047 | 30 |

| | | | | | |
|----|----|-------|-------|-------|-----|
| 16 | 50 | 0.511 | 1.000 | 0.519 | 30 |
| 17 | 10 | 0.567 | 1.000 | 0.460 | 40 |
| 18 | 20 | 0.522 | 1.000 | 0.130 | 40 |
| 19 | 30 | 0.422 | 1.000 | 0.613 | 40 |
| 20 | 40 | 0.400 | 1.000 | 0.212 | 40 |
| 21 | 50 | 0.400 | 1.000 | 0.212 | 40 |
| 22 | 10 | 0.278 | 0.600 | 0.082 | 50 |
| 23 | 20 | 0.411 | 1.000 | 0.625 | 50 |
| 24 | 30 | 0.311 | 1.000 | 0.118 | 50 |
| 25 | 40 | 0.344 | 1.000 | 0.695 | 50 |
| 26 | 50 | 0.489 | 1.000 | 0.306 | 50 |
| 27 | 10 | 0.222 | 0.400 | 0.024 | 100 |
| 28 | 20 | 0.300 | 0.500 | 0.106 | 100 |
| 29 | 30 | 0.233 | 0.400 | 0.035 | 100 |
| 30 | 40 | 0.222 | 0.400 | 0.024 | 100 |
| 31 | 50 | 0.322 | 0.600 | 0.130 | 100 |
| 32 | 10 | 0.267 | 0.500 | 0.071 | 200 |
| 33 | 20 | 0.289 | 0.500 | 0.094 | 200 |
| 34 | 30 | 0.400 | 0.500 | 0.000 | 200 |
| 35 | 40 | 0.322 | 0.500 | 0.024 | 200 |
| 36 | 50 | 0.322 | 0.500 | 0.024 | 200 |
| 37 | 10 | 0.433 | 0.600 | 0.071 | 300 |
| 38 | 20 | 0.411 | 0.800 | 0.012 | 300 |
| 39 | 30 | 0.367 | 0.600 | 0.035 | 300 |
| 40 | 40 | 0.467 | 0.700 | 0.141 | 300 |
| 41 | 50 | 0.456 | 0.900 | 0.059 | 300 |
| 42 | 10 | 0.400 | 0.600 | 0.000 | 400 |
| 43 | 20 | 0.467 | 0.700 | 0.141 | 400 |
| 44 | 30 | 0.500 | 0.900 | 0.106 | 400 |
| 45 | 40 | 0.478 | 0.700 | 0.082 | 400 |
| 46 | 50 | 0.500 | 0.700 | 0.212 | 400 |
| 47 | 10 | 0.567 | 0.900 | 0.177 | 500 |
| 48 | 20 | 0.489 | 0.800 | 0.012 | 500 |
| 49 | 30 | 0.522 | 0.800 | 0.024 | 500 |
| 50 | 40 | 0.593 | 0.800 | 0.099 | 500 |
| 51 | 50 | 0.556 | 0.800 | 0.059 | 500 |

B.1.4 Conjunto IV

| | M | media | max | desv. | n |
|----|----|-------|-------|-------|----|
| 1 | | | | | |
| 2 | 10 | 0.267 | 0.500 | 0.071 | 10 |
| 3 | 20 | 0.233 | 0.400 | 0.035 | 10 |
| 4 | 30 | 0.256 | 0.500 | 0.047 | 10 |
| 5 | 40 | 0.322 | 1.000 | 0.130 | 10 |
| 6 | 50 | 0.411 | 1.000 | 0.625 | 10 |
| 7 | 10 | 0.400 | 1.000 | 0.636 | 20 |
| 8 | 20 | 0.578 | 1.000 | 0.448 | 20 |
| 9 | 30 | 0.422 | 1.000 | 0.613 | 20 |
| 10 | 40 | 0.667 | 1.000 | 0.495 | 20 |
| 11 | 50 | 0.400 | 1.000 | 0.212 | 20 |

| | | | | | |
|----|----|-------|-------|-------|-----|
| 12 | 10 | 0.267 | 0.500 | 0.071 | 30 |
| 13 | 20 | 0.489 | 1.000 | 0.306 | 30 |
| 14 | 30 | 0.222 | 0.400 | 0.024 | 30 |
| 15 | 40 | 0.367 | 1.000 | 0.071 | 30 |
| 16 | 50 | 0.322 | 1.000 | 0.130 | 30 |
| 17 | 10 | 0.678 | 1.000 | 0.342 | 40 |
| 18 | 20 | 0.344 | 1.000 | 0.047 | 40 |
| 19 | 30 | 0.600 | 1.000 | 0.424 | 40 |
| 20 | 40 | 0.311 | 1.000 | 0.118 | 40 |
| 21 | 50 | 0.522 | 1.000 | 0.236 | 40 |
| 22 | 10 | 0.344 | 1.000 | 0.153 | 50 |
| 23 | 20 | 0.322 | 1.000 | 0.130 | 50 |
| 24 | 30 | 0.433 | 1.000 | 0.247 | 50 |
| 25 | 40 | 0.267 | 0.600 | 0.071 | 50 |
| 26 | 50 | 0.311 | 1.000 | 0.731 | 50 |
| 27 | 10 | 0.267 | 0.500 | 0.247 | 100 |
| 28 | 20 | 0.278 | 0.600 | 0.082 | 100 |
| 29 | 30 | 0.244 | 0.500 | 0.047 | 100 |
| 30 | 40 | 0.244 | 0.400 | 0.059 | 100 |
| 31 | 50 | 0.356 | 0.800 | 0.165 | 100 |
| 32 | 10 | 0.256 | 0.400 | 0.047 | 200 |
| 33 | 20 | 0.311 | 0.600 | 0.012 | 200 |
| 34 | 30 | 0.422 | 0.700 | 0.236 | 200 |
| 35 | 40 | 0.311 | 0.700 | 0.118 | 200 |
| 36 | 50 | 0.333 | 0.600 | 0.035 | 200 |
| 37 | 10 | 0.444 | 0.700 | 0.153 | 300 |
| 38 | 20 | 0.344 | 0.600 | 0.047 | 300 |
| 39 | 30 | 0.356 | 0.600 | 0.047 | 300 |
| 40 | 40 | 0.511 | 0.700 | 0.224 | 300 |
| 41 | 50 | 0.389 | 0.600 | 0.012 | 300 |
| 42 | 10 | 0.333 | 0.500 | 0.035 | 400 |
| 43 | 20 | 0.522 | 0.700 | 0.024 | 400 |
| 44 | 30 | 0.422 | 0.700 | 0.024 | 400 |
| 45 | 40 | 0.400 | 0.600 | 0.000 | 400 |
| 46 | 50 | 0.633 | 0.900 | 0.283 | 400 |
| 47 | 10 | 0.648 | 0.900 | 0.570 | 500 |
| 48 | 20 | 0.768 | 0.900 | 0.034 | 500 |
| 49 | 30 | 0.689 | 0.800 | 0.012 | 500 |
| 50 | 40 | 0.457 | 0.700 | 0.046 | 500 |
| 51 | 50 | 0.500 | 0.700 | 0.000 | 500 |

B.2 Método Dinâmico

B.2.1 Conjunto I

| | | | | | |
|---|----|-------|-------|-------|----|
| 1 | M | media | max | desv. | n |
| 2 | 10 | 0.407 | 1.000 | 0.324 | 10 |
| 3 | 20 | 0.234 | 0.349 | 0.044 | 10 |
| 4 | 30 | 0.361 | 0.508 | 0.012 | 10 |
| 5 | 40 | 0.482 | 0.623 | 0.113 | 10 |

| | | | | | |
|----|----|-------|-------|-------|-----|
| 6 | 50 | 0.514 | 0.683 | 0.044 | 10 |
| 7 | 10 | 0.373 | 0.466 | 0.028 | 20 |
| 8 | 20 | 0.760 | 0.967 | 0.032 | 20 |
| 9 | 30 | 0.233 | 0.944 | 0.111 | 20 |
| 10 | 40 | 0.194 | 0.250 | 0.010 | 20 |
| 11 | 50 | 0.252 | 0.319 | 0.009 | 20 |
| 12 | 10 | 0.672 | 0.976 | 0.154 | 30 |
| 13 | 20 | 0.211 | 0.253 | 0.023 | 30 |
| 14 | 30 | 0.330 | 0.389 | 0.027 | 30 |
| 15 | 40 | 0.448 | 0.524 | 0.031 | 30 |
| 16 | 50 | 0.616 | 0.721 | 0.001 | 30 |
| 17 | 10 | 0.210 | 0.239 | 0.006 | 40 |
| 18 | 20 | 0.445 | 0.509 | 0.045 | 40 |
| 19 | 30 | 0.693 | 0.784 | 0.089 | 40 |
| 20 | 40 | 0.856 | 0.977 | 0.083 | 40 |
| 21 | 50 | 0.158 | 0.203 | 0.026 | 40 |
| 22 | 10 | 0.323 | 0.351 | 0.029 | 50 |
| 23 | 20 | 0.556 | 0.685 | 0.478 | 50 |
| 24 | 30 | 0.227 | 0.976 | 0.134 | 50 |
| 25 | 40 | 0.225 | 0.982 | 0.090 | 50 |
| 26 | 50 | 0.160 | 0.179 | 0.014 | 50 |
| 27 | 10 | 0.125 | 0.136 | 0.011 | 100 |
| 28 | 20 | 0.256 | 0.279 | 0.024 | 100 |
| 29 | 30 | 0.388 | 0.430 | 0.045 | 100 |
| 30 | 40 | 0.555 | 0.620 | 0.068 | 100 |
| 31 | 50 | 0.654 | 0.711 | 0.061 | 100 |
| 32 | 10 | 0.518 | 0.570 | 0.002 | 200 |
| 33 | 20 | 0.112 | 0.122 | 0.011 | 200 |
| 34 | 30 | 0.157 | 0.171 | 0.000 | 200 |
| 35 | 40 | 0.214 | 0.230 | 0.006 | 200 |
| 36 | 50 | 0.271 | 0.304 | 0.007 | 200 |
| 37 | 10 | 0.119 | 0.130 | 0.008 | 300 |
| 38 | 20 | 0.235 | 0.274 | 0.012 | 300 |
| 39 | 30 | 0.351 | 0.370 | 0.018 | 300 |
| 40 | 40 | 0.474 | 0.500 | 0.025 | 300 |
| 41 | 50 | 0.590 | 0.629 | 0.029 | 300 |
| 42 | 10 | 0.211 | 0.217 | 0.015 | 400 |
| 43 | 20 | 0.417 | 0.432 | 0.031 | 400 |
| 44 | 30 | 0.637 | 0.678 | 0.052 | 400 |
| 45 | 40 | 0.864 | 0.911 | 0.076 | 400 |
| 46 | 50 | 1.492 | 1.959 | 0.528 | 400 |
| 47 | 10 | 0.322 | 0.336 | 0.005 | 500 |
| 48 | 20 | 0.635 | 0.675 | 0.010 | 500 |
| 49 | 30 | 0.961 | 0.989 | 0.030 | 500 |
| 50 | 40 | 1.303 | 1.383 | 0.026 | 500 |
| 51 | 50 | 1.636 | 1.692 | 0.059 | 500 |

B.2.2 Conjunto II

| | M | media | max | desv. | n |
|----|----|-------|-------|-------|-----|
| 1 | 10 | 0.226 | 0.360 | 0.079 | 10 |
| 2 | 20 | 0.374 | 0.460 | 0.027 | 10 |
| 3 | 30 | 0.481 | 0.600 | 0.084 | 10 |
| 4 | 40 | 0.508 | 0.670 | 0.040 | 10 |
| 5 | 50 | 0.552 | 0.660 | 0.051 | 10 |
| 6 | 10 | 0.450 | 0.630 | 0.042 | 20 |
| 7 | 20 | 0.712 | 1.000 | 0.104 | 20 |
| 8 | 30 | 0.132 | 0.173 | 0.011 | 20 |
| 9 | 40 | 0.175 | 0.225 | 0.015 | 20 |
| 10 | 50 | 0.227 | 0.275 | 0.026 | 20 |
| 11 | 10 | 0.717 | 0.930 | 0.225 | 30 |
| 12 | 20 | 0.191 | 0.245 | 0.005 | 30 |
| 13 | 30 | 0.302 | 0.397 | 0.019 | 30 |
| 14 | 40 | 0.378 | 0.488 | 0.001 | 30 |
| 15 | 50 | 0.475 | 0.612 | 0.003 | 30 |
| 16 | 10 | 0.183 | 0.230 | 0.016 | 40 |
| 17 | 20 | 0.355 | 0.463 | 0.016 | 40 |
| 18 | 30 | 0.537 | 0.687 | 0.021 | 40 |
| 19 | 40 | 0.756 | 0.931 | 0.034 | 40 |
| 20 | 50 | 0.625 | 0.994 | 0.314 | 40 |
| 21 | 10 | 0.258 | 0.305 | 0.013 | 50 |
| 22 | 20 | 0.539 | 0.609 | 0.045 | 50 |
| 23 | 30 | 0.815 | 0.930 | 0.052 | 50 |
| 24 | 40 | 0.115 | 0.124 | 0.009 | 50 |
| 25 | 50 | 0.149 | 0.170 | 0.012 | 50 |
| 26 | 10 | 0.395 | 0.968 | 0.299 | 100 |
| 27 | 20 | 0.237 | 0.258 | 0.015 | 100 |
| 28 | 30 | 0.368 | 0.399 | 0.025 | 100 |
| 29 | 40 | 0.508 | 0.555 | 0.050 | 100 |
| 30 | 50 | 0.651 | 0.692 | 0.039 | 100 |
| 31 | 10 | 0.514 | 0.544 | 0.004 | 200 |
| 32 | 20 | 0.202 | 0.953 | 0.099 | 200 |
| 33 | 30 | 0.165 | 0.173 | 0.001 | 200 |
| 34 | 40 | 0.221 | 0.238 | 0.003 | 200 |
| 35 | 50 | 0.283 | 0.293 | 0.000 | 200 |
| 36 | 10 | 0.118 | 0.124 | 0.005 | 300 |
| 37 | 20 | 0.243 | 0.254 | 0.001 | 300 |
| 38 | 30 | 0.367 | 0.380 | 0.010 | 300 |
| 39 | 40 | 0.490 | 0.508 | 0.015 | 300 |
| 40 | 50 | 0.611 | 0.634 | 0.015 | 300 |
| 41 | 10 | 0.213 | 0.226 | 0.000 | 400 |
| 42 | 20 | 0.435 | 0.464 | 0.007 | 400 |
| 43 | 30 | 0.645 | 0.678 | 0.001 | 400 |
| 44 | 40 | 0.865 | 0.912 | 0.008 | 400 |
| 45 | 50 | 0.108 | 0.115 | 0.000 | 400 |
| 46 | 10 | 0.337 | 0.353 | 0.007 | 500 |
| 47 | 20 | 0.677 | 0.713 | 0.016 | 500 |
| 48 | 30 | 0.299 | 0.990 | 0.207 | 500 |
| 49 | | | | | |

| | | | | | |
|----|----|-------|-------|-------|-----|
| 50 | 40 | 0.135 | 0.141 | 0.004 | 500 |
| 51 | 50 | 0.171 | 0.179 | 0.005 | 500 |

B.2.3 Conjunto III

| | M | media | max | desv. | n |
|----|----|-------|-------|-------|-----|
| 1 | | | | | |
| 2 | 10 | 0.239 | 0.430 | 0.054 | 10 |
| 3 | 20 | 0.402 | 0.600 | 0.008 | 10 |
| 4 | 30 | 0.520 | 0.750 | 0.021 | 10 |
| 5 | 40 | 0.578 | 0.910 | 0.019 | 10 |
| 6 | 50 | 0.533 | 0.700 | 0.071 | 10 |
| 7 | 10 | 0.467 | 0.640 | 0.004 | 20 |
| 8 | 20 | 0.622 | 0.930 | 0.547 | 20 |
| 9 | 30 | 0.136 | 0.157 | 0.008 | 20 |
| 10 | 40 | 0.180 | 0.213 | 0.015 | 20 |
| 11 | 50 | 0.230 | 0.267 | 0.033 | 20 |
| 12 | 10 | 0.485 | 1.000 | 0.472 | 30 |
| 13 | 20 | 0.210 | 0.268 | 0.017 | 30 |
| 14 | 30 | 0.317 | 0.402 | 0.001 | 30 |
| 15 | 40 | 0.426 | 0.545 | 0.043 | 30 |
| 16 | 50 | 0.530 | 0.663 | 0.045 | 30 |
| 17 | 10 | 0.175 | 0.254 | 0.010 | 40 |
| 18 | 20 | 0.352 | 0.509 | 0.067 | 40 |
| 19 | 30 | 0.524 | 0.742 | 0.088 | 40 |
| 20 | 40 | 0.625 | 0.783 | 0.033 | 40 |
| 21 | 50 | 0.720 | 0.998 | 0.049 | 40 |
| 22 | 10 | 0.259 | 0.302 | 0.015 | 50 |
| 23 | 20 | 0.532 | 0.665 | 0.141 | 50 |
| 24 | 30 | 0.817 | 0.881 | 0.037 | 50 |
| 25 | 40 | 0.209 | 0.953 | 0.095 | 50 |
| 26 | 50 | 0.147 | 0.167 | 0.022 | 50 |
| 27 | 10 | 0.209 | 0.983 | 0.099 | 100 |
| 28 | 20 | 0.239 | 0.274 | 0.014 | 100 |
| 29 | 30 | 0.382 | 0.419 | 0.032 | 100 |
| 30 | 40 | 0.524 | 0.582 | 0.061 | 100 |
| 31 | 50 | 0.668 | 0.718 | 0.042 | 100 |
| 32 | 10 | 0.501 | 0.532 | 0.001 | 200 |
| 33 | 20 | 0.106 | 0.113 | 0.002 | 200 |
| 34 | 30 | 0.163 | 0.172 | 0.001 | 200 |
| 35 | 40 | 0.219 | 0.232 | 0.000 | 200 |
| 36 | 50 | 0.273 | 0.290 | 0.000 | 200 |
| 37 | 10 | 0.119 | 0.124 | 0.000 | 300 |
| 38 | 20 | 0.243 | 0.250 | 0.000 | 300 |
| 39 | 30 | 0.367 | 0.382 | 0.001 | 300 |
| 40 | 40 | 0.489 | 0.502 | 0.006 | 300 |
| 41 | 50 | 0.612 | 0.629 | 0.003 | 300 |
| 42 | 10 | 0.214 | 0.225 | 0.001 | 400 |
| 43 | 20 | 0.427 | 0.451 | 0.006 | 400 |
| 44 | 30 | 0.644 | 0.675 | 0.008 | 400 |
| 45 | 40 | 0.862 | 0.908 | 0.008 | 400 |

| | | | | | |
|----|----|-------|-------|-------|-----|
| 46 | 50 | 0.109 | 0.113 | 0.000 | 400 |
| 47 | 10 | 0.337 | 0.347 | 0.004 | 500 |
| 48 | 20 | 0.674 | 0.691 | 0.009 | 500 |
| 49 | 30 | 0.301 | 0.999 | 0.209 | 500 |
| 50 | 40 | 0.136 | 0.140 | 0.002 | 500 |
| 51 | 50 | 0.171 | 0.175 | 0.002 | 500 |

B.2.4 Conjunto IV

| | M | media | max | desv. | n |
|----|----|-------|-------|-------|-----|
| 1 | 10 | 0.231 | 0.400 | 0.062 | 10 |
| 2 | 20 | 0.389 | 0.480 | 0.065 | 10 |
| 3 | 30 | 0.520 | 0.590 | 0.074 | 10 |
| 4 | 40 | 0.573 | 0.760 | 0.198 | 10 |
| 5 | 50 | 0.712 | 0.850 | 0.146 | 10 |
| 6 | 10 | 0.472 | 0.640 | 0.066 | 20 |
| 7 | 20 | 0.795 | 0.960 | 0.016 | 20 |
| 8 | 30 | 0.144 | 0.176 | 0.025 | 20 |
| 9 | 40 | 0.183 | 0.232 | 0.020 | 20 |
| 10 | 50 | 0.227 | 0.283 | 0.027 | 20 |
| 11 | 10 | 0.389 | 0.980 | 0.585 | 30 |
| 12 | 20 | 0.206 | 0.277 | 0.023 | 30 |
| 13 | 30 | 0.312 | 0.412 | 0.033 | 30 |
| 14 | 40 | 0.436 | 0.559 | 0.060 | 30 |
| 15 | 50 | 0.521 | 0.677 | 0.059 | 30 |
| 16 | 10 | 0.166 | 0.210 | 0.021 | 40 |
| 17 | 20 | 0.345 | 0.420 | 0.050 | 40 |
| 18 | 30 | 0.505 | 0.630 | 0.061 | 40 |
| 19 | 40 | 0.676 | 0.821 | 0.090 | 40 |
| 20 | 50 | 0.700 | 0.972 | 0.084 | 40 |
| 21 | 10 | 0.260 | 0.334 | 0.025 | 50 |
| 22 | 20 | 0.519 | 0.638 | 0.046 | 50 |
| 23 | 30 | 0.836 | 0.960 | 0.096 | 50 |
| 24 | 40 | 0.210 | 0.971 | 0.115 | 50 |
| 25 | 50 | 0.143 | 0.160 | 0.012 | 50 |
| 26 | 10 | 0.112 | 0.125 | 0.009 | 100 |
| 27 | 20 | 0.241 | 0.261 | 0.000 | 100 |
| 28 | 30 | 0.372 | 0.410 | 0.007 | 100 |
| 29 | 40 | 0.517 | 0.570 | 0.010 | 100 |
| 30 | 50 | 0.665 | 0.721 | 0.002 | 100 |
| 31 | 10 | 0.509 | 0.534 | 0.007 | 200 |
| 32 | 20 | 0.108 | 0.112 | 0.001 | 200 |
| 33 | 30 | 0.165 | 0.171 | 0.001 | 200 |
| 34 | 40 | 0.218 | 0.229 | 0.007 | 200 |
| 35 | 50 | 0.275 | 0.299 | 0.011 | 200 |
| 36 | 10 | 0.119 | 0.129 | 0.002 | 300 |
| 37 | 20 | 0.239 | 0.256 | 0.012 | 300 |
| 38 | 30 | 0.356 | 0.389 | 0.006 | 300 |
| 39 | 40 | 0.476 | 0.517 | 0.012 | 300 |
| 40 | 50 | 0.597 | 0.644 | 0.015 | 300 |
| 41 | | | | | |

| | | | | | |
|----|----|-------|-------|-------|-----|
| 42 | 10 | 0.216 | 0.244 | 0.001 | 400 |
| 43 | 20 | 0.430 | 0.455 | 0.011 | 400 |
| 44 | 30 | 0.643 | 0.660 | 0.015 | 400 |
| 45 | 40 | 0.856 | 0.889 | 0.027 | 400 |
| 46 | 50 | 0.107 | 0.111 | 0.003 | 400 |
| 47 | 10 | 0.332 | 0.337 | 0.002 | 500 |
| 48 | 20 | 0.667 | 0.679 | 0.010 | 500 |
| 49 | 30 | 0.495 | 0.996 | 0.530 | 500 |
| 50 | 40 | 0.133 | 0.135 | 0.001 | 500 |
| 51 | 50 | 0.168 | 0.171 | 0.003 | 500 |

B.3 Método Backtracking

B.3.1 Conjunto I

| | M | media | max | desv. | n |
|----|----|-------|-------|-------|-----|
| 1 | 10 | 0.444 | 0.800 | 0.047 | 10 |
| 2 | 20 | 0.500 | 0.800 | 0.106 | 10 |
| 3 | 30 | 0.522 | 0.900 | 0.024 | 10 |
| 4 | 40 | 0.522 | 1.000 | 0.130 | 10 |
| 5 | 50 | 0.522 | 1.000 | 0.130 | 10 |
| 6 | 10 | 0.568 | 0.900 | 0.178 | 20 |
| 7 | 20 | 0.578 | 1.000 | 0.189 | 20 |
| 8 | 30 | 0.644 | 1.000 | 0.271 | 20 |
| 9 | 40 | 0.672 | 0.900 | 0.183 | 20 |
| 10 | 50 | 0.637 | 0.900 | 0.067 | 20 |
| 11 | 10 | 0.606 | 0.800 | 0.112 | 30 |
| 12 | 20 | 0.297 | 0.800 | 0.534 | 30 |
| 13 | 30 | 0.506 | 0.900 | 0.206 | 30 |
| 14 | 40 | 0.634 | 1.000 | 0.037 | 30 |
| 15 | 50 | 0.493 | 1.000 | 0.113 | 30 |
| 16 | 10 | 0.414 | 1.000 | 0.280 | 40 |
| 17 | 20 | 0.383 | 0.900 | 0.548 | 40 |
| 18 | 30 | 0.283 | 0.900 | 0.654 | 40 |
| 19 | 40 | 0.158 | 0.200 | 0.019 | 40 |
| 20 | 50 | 0.328 | 0.900 | 0.220 | 40 |
| 21 | 10 | 0.541 | 1.000 | 0.381 | 50 |
| 22 | 20 | 0.197 | 0.310 | 0.049 | 50 |
| 23 | 30 | 0.221 | 0.460 | 0.044 | 50 |
| 24 | 40 | 0.258 | 0.660 | 0.082 | 50 |
| 25 | 50 | 0.218 | 0.370 | 0.082 | 50 |
| 26 | 10 | 0.247 | 0.450 | 0.025 | 100 |
| 27 | 20 | 0.431 | 0.700 | 0.181 | 100 |
| 28 | 30 | 0.487 | 0.670 | 0.156 | 100 |
| 29 | 40 | 0.454 | 0.690 | 0.005 | 100 |
| 30 | 50 | 0.595 | 0.890 | 0.143 | 100 |
| 31 | 10 | 0.513 | 0.830 | 0.177 | 200 |
| 32 | 20 | 0.506 | 1.000 | 0.237 | 200 |
| 33 | 30 | 0.172 | 0.650 | 0.051 | 200 |
| 34 | 40 | 0.148 | 0.224 | 0.046 | 200 |
| 35 | | | | | |

| | | | | | |
|----|----|-------|-------|-------|-----|
| 36 | 50 | 0.196 | 0.276 | 0.016 | 200 |
| 37 | 10 | 0.281 | 0.930 | 0.161 | 300 |
| 38 | 20 | 0.187 | 0.390 | 0.068 | 300 |
| 39 | 30 | 0.220 | 0.296 | 0.057 | 300 |
| 40 | 40 | 0.269 | 0.368 | 0.033 | 300 |
| 41 | 50 | 0.300 | 0.390 | 0.050 | 300 |
| 42 | 10 | 0.207 | 0.345 | 0.004 | 400 |
| 43 | 20 | 0.285 | 0.481 | 0.078 | 400 |
| 44 | 30 | 0.355 | 0.432 | 0.064 | 400 |
| 45 | 40 | 0.515 | 0.650 | 0.143 | 400 |
| 46 | 50 | 0.541 | 0.693 | 0.132 | 400 |
| 47 | 10 | 0.239 | 0.326 | 0.057 | 500 |
| 48 | 20 | 0.490 | 0.599 | 0.106 | 500 |
| 49 | 30 | 0.616 | 0.920 | 0.322 | 500 |
| 50 | 40 | 0.497 | 0.884 | 0.410 | 500 |
| 51 | 50 | 0.733 | 0.967 | 0.194 | 500 |

B.3.2 Conjunto II

| | M | media | max | desv. | n |
|----|----|-------|-------|-------|-----|
| 1 | | | | | |
| 2 | 10 | 0.422 | 0.800 | 0.130 | 10 |
| 3 | 20 | 0.456 | 0.700 | 0.059 | 10 |
| 4 | 30 | 0.533 | 0.800 | 0.141 | 10 |
| 5 | 40 | 0.467 | 0.700 | 0.177 | 10 |
| 6 | 50 | 0.333 | 0.600 | 0.035 | 10 |
| 7 | 10 | 0.480 | 0.800 | 0.085 | 20 |
| 8 | 20 | 0.508 | 1.000 | 0.220 | 20 |
| 9 | 30 | 0.611 | 1.000 | 0.224 | 20 |
| 10 | 40 | 0.622 | 0.900 | 0.130 | 20 |
| 11 | 50 | 0.643 | 1.000 | 0.378 | 20 |
| 12 | 10 | 0.722 | 1.000 | 0.295 | 30 |
| 13 | 20 | 0.617 | 0.900 | 0.018 | 30 |
| 14 | 30 | 0.310 | 0.900 | 0.127 | 30 |
| 15 | 40 | 0.582 | 1.000 | 0.448 | 30 |
| 16 | 50 | 0.683 | 1.000 | 0.194 | 30 |
| 17 | 10 | 0.602 | 1.000 | 0.210 | 40 |
| 18 | 20 | 0.563 | 0.800 | 0.145 | 40 |
| 19 | 30 | 0.377 | 1.000 | 0.343 | 40 |
| 20 | 40 | 0.317 | 0.800 | 0.513 | 40 |
| 21 | 50 | 0.392 | 0.900 | 0.289 | 40 |
| 22 | 10 | 0.337 | 0.900 | 0.209 | 50 |
| 23 | 20 | 0.286 | 1.000 | 0.123 | 50 |
| 24 | 30 | 0.271 | 0.800 | 0.211 | 50 |
| 25 | 40 | 0.164 | 0.220 | 0.048 | 50 |
| 26 | 50 | 0.252 | 0.380 | 0.019 | 50 |
| 27 | 10 | 0.299 | 0.490 | 0.115 | 100 |
| 28 | 20 | 0.381 | 0.600 | 0.126 | 100 |
| 29 | 30 | 0.481 | 0.600 | 0.266 | 100 |
| 30 | 40 | 0.437 | 0.860 | 0.007 | 100 |
| 31 | 50 | 0.394 | 0.540 | 0.078 | 100 |

| | | | | | |
|----|----|-------|-------|-------|-----|
| 32 | 10 | 0.568 | 0.860 | 0.097 | 200 |
| 33 | 20 | 0.501 | 0.780 | 0.126 | 200 |
| 34 | 30 | 0.297 | 0.950 | 0.194 | 200 |
| 35 | 40 | 0.335 | 0.990 | 0.219 | 200 |
| 36 | 50 | 0.153 | 0.235 | 0.035 | 200 |
| 37 | 10 | 0.525 | 0.970 | 0.397 | 300 |
| 38 | 20 | 0.291 | 0.960 | 0.144 | 300 |
| 39 | 30 | 0.203 | 0.246 | 0.004 | 300 |
| 40 | 40 | 0.239 | 0.348 | 0.020 | 300 |
| 41 | 50 | 0.332 | 0.446 | 0.081 | 300 |
| 42 | 10 | 0.220 | 0.282 | 0.002 | 400 |
| 43 | 20 | 0.287 | 0.469 | 0.055 | 400 |
| 44 | 30 | 0.309 | 0.395 | 0.046 | 400 |
| 45 | 40 | 0.445 | 0.602 | 0.016 | 400 |
| 46 | 50 | 0.511 | 0.753 | 0.041 | 400 |
| 47 | 10 | 0.273 | 0.391 | 0.117 | 500 |
| 48 | 20 | 0.367 | 0.603 | 0.108 | 500 |
| 49 | 30 | 0.450 | 0.552 | 0.046 | 500 |
| 50 | 40 | 0.645 | 0.909 | 0.280 | 500 |
| 51 | 50 | 0.688 | 0.763 | 0.025 | 500 |

B.3.3 Conjunto III

| | M | media | max | desv. | n |
|----|----|-------|-------|-------|-----|
| 1 | 10 | 0.600 | 0.900 | 0.000 | 10 |
| 2 | 20 | 0.516 | 1.000 | 0.123 | 10 |
| 3 | 30 | 0.569 | 0.800 | 0.033 | 10 |
| 4 | 40 | 0.413 | 0.700 | 0.226 | 10 |
| 5 | 50 | 0.427 | 1.000 | 0.396 | 10 |
| 6 | 10 | 0.373 | 1.000 | 0.152 | 20 |
| 7 | 20 | 0.356 | 0.800 | 0.154 | 20 |
| 8 | 30 | 0.378 | 0.990 | 0.242 | 20 |
| 9 | 40 | 0.394 | 0.700 | 0.324 | 20 |
| 10 | 50 | 0.423 | 1.000 | 0.305 | 20 |
| 11 | 10 | 0.355 | 0.520 | 0.101 | 30 |
| 12 | 20 | 0.343 | 0.650 | 0.326 | 30 |
| 13 | 30 | 0.310 | 0.700 | 0.026 | 30 |
| 14 | 40 | 0.322 | 0.840 | 0.550 | 30 |
| 15 | 50 | 0.338 | 0.770 | 0.295 | 30 |
| 16 | 10 | 0.291 | 0.470 | 0.169 | 40 |
| 17 | 20 | 0.434 | 0.961 | 0.559 | 40 |
| 18 | 30 | 0.452 | 0.970 | 0.352 | 40 |
| 19 | 40 | 0.364 | 0.787 | 0.006 | 40 |
| 20 | 50 | 0.356 | 0.930 | 0.235 | 40 |
| 21 | 10 | 0.505 | 0.800 | 0.313 | 50 |
| 22 | 20 | 0.495 | 0.840 | 0.387 | 50 |
| 23 | 30 | 0.256 | 0.489 | 0.155 | 50 |
| 24 | 40 | 0.385 | 0.916 | 0.022 | 50 |
| 25 | 50 | 0.398 | 0.723 | 0.200 | 50 |
| 26 | 10 | 0.406 | 0.736 | 0.343 | 100 |
| 27 | | | | | |

| | | | | | |
|----|----|--------|---------|--------|-----|
| 28 | 20 | 0.342 | 0.812 | 0.498 | 100 |
| 29 | 30 | 1.218 | 7.314 | 1.094 | 100 |
| 30 | 40 | 3.197 | 11.623 | 2.181 | 100 |
| 31 | 50 | 1.906 | 11.841 | 1.004 | 100 |
| 32 | 10 | 41.021 | 108.697 | 42.888 | 200 |

B.3.4 Conjunto IV

| | M | media | max | desv. | n |
|----|----|-------|-------|-------|-----|
| 1 | 10 | 0.700 | 1.000 | 0.106 | 10 |
| 2 | 20 | 0.234 | 0.800 | 0.121 | 10 |
| 3 | 30 | 0.189 | 0.300 | 0.086 | 10 |
| 4 | 40 | 0.318 | 1.000 | 0.002 | 10 |
| 5 | 50 | 0.274 | 0.400 | 0.027 | 10 |
| 6 | 10 | 0.447 | 1.000 | 0.028 | 20 |
| 7 | 20 | 0.479 | 1.000 | 0.012 | 20 |
| 8 | 30 | 0.469 | 0.890 | 0.306 | 20 |
| 9 | 40 | 0.435 | 0.910 | 0.503 | 20 |
| 10 | 50 | 0.373 | 0.730 | 0.026 | 20 |
| 11 | 10 | 0.447 | 0.970 | 0.050 | 30 |
| 12 | 20 | 0.417 | 0.850 | 0.143 | 30 |
| 13 | 30 | 0.337 | 0.773 | 0.462 | 30 |
| 14 | 40 | 0.512 | 0.900 | 0.030 | 30 |
| 15 | 50 | 0.400 | 0.900 | 0.530 | 30 |
| 16 | 10 | 0.270 | 0.716 | 0.159 | 40 |
| 17 | 20 | 0.474 | 0.883 | 0.111 | 40 |
| 18 | 30 | 0.375 | 0.754 | 0.035 | 40 |
| 19 | 40 | 0.496 | 0.800 | 0.144 | 40 |
| 20 | 50 | 0.420 | 0.754 | 0.274 | 40 |
| 21 | 10 | 0.474 | 0.910 | 0.130 | 50 |
| 22 | 20 | 0.299 | 0.649 | 0.085 | 50 |
| 23 | 30 | 0.395 | 0.800 | 0.222 | 50 |
| 24 | 40 | 0.331 | 0.528 | 0.142 | 50 |
| 25 | 50 | 0.358 | 0.740 | 0.405 | 50 |
| 26 | 10 | 0.588 | 1.553 | 0.390 | 100 |
| 27 | | | | | |

C Tabelas com Utilidade Acumulada

C.1 Conjunto I

| | Dinamico | Back. | Guloso | |
|---|----------|----------|----------|-------------|
| 1 | 10 | 14276.00 | 14276.00 | 13463.00 10 |
| 2 | 20 | 20503.00 | 20503.00 | 20314.00 10 |
| 3 | 30 | 26288.00 | 26288.00 | 25955.00 10 |
| 4 | 40 | 31148.00 | 31148.00 | 31122.00 10 |
| 5 | 50 | 34319.00 | 34319.00 | 33893.00 10 |
| 6 | | | | |
| 7 | | | | |
| 8 | 10 | 33096.00 | 33096.00 | 32207.00 20 |
| 9 | 20 | 48454.00 | 48454.00 | 47708.00 20 |

| | | | | | |
|----|----|------------|------------|------------|-----|
| 10 | 30 | 59570.00 | 59570.00 | 59331.00 | 20 |
| 11 | 40 | 69157.00 | 69157.00 | 68721.00 | 20 |
| 12 | 50 | 76959.00 | 76959.00 | 76761.00 | 20 |
| 13 | | | | | |
| 14 | 10 | 46778.00 | 46778.00 | 46244.00 | 30 |
| 15 | 20 | 66220.00 | 66220.00 | 65214.00 | 30 |
| 16 | 30 | 81565.00 | 81565.00 | 80927.00 | 30 |
| 17 | 40 | 94349.00 | 94349.00 | 94082.00 | 30 |
| 18 | 50 | 105394.00 | 105394.00 | 105237.00 | 30 |
| 19 | | | | | |
| 20 | 10 | 61772.00 | 61772.00 | 60735.00 | 40 |
| 21 | 20 | 88281.00 | 88281.00 | 87548.00 | 40 |
| 22 | 30 | 108874.00 | 108874.00 | 108189.00 | 40 |
| 23 | 40 | 126150.00 | 126150.00 | 125697.00 | 40 |
| 24 | 50 | 141115.00 | 141115.00 | 140701.00 | 40 |
| 25 | | | | | |
| 26 | 10 | 74270.00 | 74270.00 | 73779.00 | 50 |
| 27 | 20 | 108386.00 | 108386.00 | 107406.00 | 50 |
| 28 | 30 | 134295.00 | 134295.00 | 133837.00 | 50 |
| 29 | 40 | 155956.00 | 155956.00 | 155182.00 | 50 |
| 30 | 50 | 173403.00 | 173403.00 | 173076.00 | 50 |
| 31 | | | | | |
| 32 | 10 | 159587.00 | 159587.00 | 159117.00 | 100 |
| 33 | 20 | 225225.00 | 225225.00 | 224695.00 | 100 |
| 34 | 30 | 276070.00 | 276070.00 | 275470.00 | 100 |
| 35 | 40 | 319273.00 | 319273.00 | 318824.00 | 100 |
| 36 | 50 | 353836.00 | 353836.00 | 353349.00 | 100 |
| 37 | | | | | |
| 38 | 10 | 329200.00 | 329200.00 | 328781.00 | 200 |
| 39 | 20 | 467250.00 | 467250.00 | 466546.00 | 200 |
| 40 | 30 | 573983.00 | 573983.00 | 573761.00 | 200 |
| 41 | 40 | 661586.00 | 661586.00 | 661056.00 | 200 |
| 42 | 50 | 735671.00 | 735671.00 | 735181.00 | 200 |
| 43 | | | | | |
| 44 | 10 | 491996.00 | 491996.00 | 491460.00 | 300 |
| 45 | 20 | 696382.00 | 696382.00 | 695955.00 | 300 |
| 46 | 30 | 851705.00 | 851705.00 | 851307.00 | 300 |
| 47 | 40 | 983043.00 | 983043.00 | 982816.00 | 300 |
| 48 | 50 | 1094717.00 | 1094717.00 | 1094409.00 | 300 |
| 49 | | | | | |
| 50 | 10 | 636679.00 | 636679.00 | 636239.00 | 400 |
| 51 | 20 | 907682.00 | 907682.00 | 907330.00 | 400 |
| 52 | 30 | 1117518.00 | 1117518.00 | 1117112.00 | 400 |
| 53 | 40 | 1290594.00 | 1290594.00 | 1290068.00 | 400 |
| 54 | 50 | 1437606.00 | 1437606.00 | 1437342.00 | 400 |
| 55 | | | | | |
| 56 | 10 | 837932.00 | 837932.00 | 837633.00 | 500 |
| 57 | 20 | 1176953.00 | 1176953.00 | 1176508.00 | 500 |
| 58 | 30 | 1435879.00 | 1435879.00 | 1435541.00 | 500 |
| 59 | 40 | 1651514.00 | 1651514.00 | 1651357.00 | 500 |

60 50 1832626.00 1832626.00 1832218.00 500

C.2 Conjunto I

| | Dinamico | Back. | Guloso | |
|----|----------|----------|----------|--------------|
| 1 | | | | |
| 2 | 10 | 1295.00 | 1295.00 | 1277.00 10 |
| 3 | 20 | 2083.00 | 2083.00 | 2044.00 10 |
| 4 | 30 | 2609.00 | 2609.00 | 2536.00 10 |
| 5 | 40 | 3083.00 | 3083.00 | 3016.00 10 |
| 6 | 50 | 3462.00 | 3462.00 | 3448.00 10 |
| 7 | | | | |
| 8 | 10 | 2885.00 | 2885.00 | 2854.00 20 |
| 9 | 20 | 4355.00 | 4355.00 | 4302.00 20 |
| 10 | 30 | 5480.00 | 5480.00 | 5431.00 20 |
| 11 | 40 | 6349.00 | 6349.00 | 6291.00 20 |
| 12 | 50 | 7072.00 | 7072.00 | 6985.00 20 |
| 13 | | | | |
| 14 | 10 | 5153.00 | 5153.00 | 5059.00 30 |
| 15 | 20 | 7268.00 | 7268.00 | 7197.00 30 |
| 16 | 30 | 8826.00 | 8826.00 | 8751.00 30 |
| 17 | 40 | 10141.00 | 10141.00 | 10101.00 30 |
| 18 | 50 | 11243.00 | 11243.00 | 11213.00 30 |
| 19 | | | | |
| 20 | 10 | 5443.00 | 5443.00 | 5377.00 40 |
| 21 | 20 | 8194.00 | 8194.00 | 8186.00 40 |
| 22 | 30 | 10455.00 | 10455.00 | 10411.00 40 |
| 23 | 40 | 12383.00 | 12383.00 | 12358.00 40 |
| 24 | 50 | 14074.00 | 14074.00 | 14047.00 40 |
| 25 | | | | |
| 26 | 10 | 7883.00 | 7883.00 | 7831.00 50 |
| 27 | 20 | 11243.00 | 11243.00 | 11194.00 50 |
| 28 | 30 | 13785.00 | 13785.00 | 13734.00 50 |
| 29 | 40 | 15914.00 | 15914.00 | 15880.00 50 |
| 30 | 50 | 17681.00 | 17681.00 | 17646.00 50 |
| 31 | | | | |
| 32 | 10 | 16965.00 | 16965.00 | 16893.00 100 |
| 33 | 20 | 24188.00 | 24188.00 | 24129.00 100 |
| 34 | 30 | 29518.00 | 29518.00 | 29450.00 100 |
| 35 | 40 | 34010.00 | 34010.00 | 33975.00 100 |
| 36 | 50 | 37893.00 | 37893.00 | 37847.00 100 |
| 37 | | | | |
| 38 | 10 | 32672.00 | 32672.00 | 32631.00 200 |
| 39 | 20 | 46526.00 | 46526.00 | 46482.00 200 |
| 40 | 30 | 57293.00 | 57293.00 | 57248.00 200 |
| 41 | 40 | 66397.00 | 66397.00 | 66372.00 200 |
| 42 | 50 | 73981.00 | 73981.00 | 73936.00 200 |
| 43 | | | | |
| 44 | 10 | 46954.00 | 46954.00 | 46922.00 300 |
| 45 | 20 | 67436.00 | 67436.00 | 67374.00 300 |
| 46 | 30 | 83481.00 | 83481.00 | 83448.00 300 |

| | | | | | |
|----|----|-----------|-----------|-----------|-----|
| 47 | 40 | 96750.00 | 96750.00 | 96708.00 | 300 |
| 48 | 50 | 108015.00 | 108015.00 | 107981.00 | 300 |
| 49 | | | | | |
| 50 | 10 | 63963.00 | 63963.00 | 63933.00 | 400 |
| 51 | 20 | 91576.00 | 91576.00 | 91525.00 | 400 |
| 52 | 30 | 112954.00 | 112954.00 | 112920.00 | 400 |
| 53 | 40 | 130763.00 | 130763.00 | 130727.00 | 400 |
| 54 | 50 | 145819.00 | 145819.00 | 145795.00 | 400 |
| 55 | | | | | |
| 56 | 10 | 81070.00 | 81070.00 | 81031.00 | 500 |
| 57 | 20 | 115021.00 | 115021.00 | 114992.00 | 500 |
| 58 | 30 | 141652.00 | 141652.00 | 141619.00 | 500 |
| 59 | 40 | 164171.00 | 164171.00 | 164132.00 | 500 |
| 60 | 50 | 183215.00 | 183215.00 | 183186.00 | 500 |

C.3 Conjunto I

| | | Dinamico Back. | | Guloso | |
|----|----|----------------|----------|----------|-----|
| 1 | | | | | |
| 2 | 10 | 5042.00 | 5042.00 | 5031.00 | 100 |
| 3 | 10 | 638.00 | 638.00 | 536.00 | 10 |
| 4 | 20 | 1223.00 | 1223.00 | 1125.00 | 10 |
| 5 | 30 | 1787.00 | 1787.00 | 1623.00 | 10 |
| 6 | 40 | 2313.00 | 2313.00 | 2110.00 | 10 |
| 7 | 50 | 2840.00 | 2840.00 | 2674.00 | 10 |
| 8 | | | | | |
| 9 | 10 | 1380.00 | 1380.00 | 1243.00 | 20 |
| 10 | 20 | 2530.00 | 2530.00 | 2338.00 | 20 |
| 11 | 30 | 3620.00 | 3620.00 | 3419.00 | 20 |
| 12 | 40 | 4656.00 | 4656.00 | 4476.00 | 20 |
| 13 | 50 | 5691.00 | 5691.00 | 5349.00 | 20 |
| 14 | | | | | |
| 15 | 10 | 2166.00 | 2166.00 | 2041.00 | 30 |
| 16 | 20 | 3935.00 | 3935.00 | 3671.00 | 30 |
| 17 | 30 | 5674.00 | 5674.00 | 5506.00 | 30 |
| 18 | 40 | 7339.00 | 7339.00 | 7019.00 | 30 |
| 19 | 50 | 9011.00 | 9011.00 | 8771.00 | 30 |
| 20 | | | | | |
| 21 | 10 | 2859.00 | 2859.00 | 2680.00 | 40 |
| 22 | 20 | 5165.00 | 5165.00 | 4918.00 | 40 |
| 23 | 30 | 7397.00 | 7397.00 | 7243.00 | 40 |
| 24 | 40 | 9513.00 | 9513.00 | 9170.00 | 40 |
| 25 | 50 | 11613.00 | 11613.00 | 11192.00 | 40 |
| 26 | | | | | |
| 27 | 10 | 3548.00 | 3548.00 | 3407.00 | 50 |
| 28 | 20 | 6368.00 | 6368.00 | 6155.00 | 50 |
| 29 | 30 | 9018.00 | 9018.00 | 8719.00 | 50 |
| 30 | 40 | 11617.00 | 11617.00 | 11382.00 | 50 |
| 31 | 50 | 14151.00 | 14151.00 | 13813.00 | 50 |
| 32 | | | | | |
| 33 | 10 | 7206.00 | 7206.00 | 7095.00 | 100 |

| | | | | | |
|----|----|-----------|----------|-----------|-----|
| 34 | 20 | 12839.00 | 12839.00 | 12652.00 | 100 |
| 35 | 30 | 18235.00 | 18235.00 | 18025.00 | 100 |
| 36 | 40 | 23491.00 | 23491.00 | 23229.00 | 100 |
| 37 | 50 | 28658.00 | 28658.00 | 28353.00 | 100 |
| 38 | | | | | |
| 39 | 10 | 14515.00 | | 14322.00 | 200 |
| 40 | 20 | 25872.00 | | 25699.00 | 200 |
| 41 | 30 | 36675.00 | | 36453.00 | 200 |
| 42 | 40 | 47200.00 | | 46964.00 | 200 |
| 43 | 50 | 57529.00 | | 57240.00 | 200 |
| 44 | | | | | |
| 45 | 10 | 21859.00 | | 21708.00 | 300 |
| 46 | 20 | 39047.00 | | 38885.00 | 300 |
| 47 | 30 | 55396.00 | | 55128.00 | 300 |
| 48 | 40 | 71334.00 | | 71023.00 | 300 |
| 49 | 50 | 87036.00 | | 86856.00 | 300 |
| 50 | | | | | |
| 51 | 10 | 29204.00 | | 29061.00 | 400 |
| 52 | 20 | 52097.00 | | 51898.00 | 400 |
| 53 | 30 | 73881.00 | | 73570.00 | 400 |
| 54 | 40 | 95073.00 | | 94710.00 | 400 |
| 55 | 50 | 115910.00 | | 115741.00 | 400 |
| 56 | | | | | |
| 57 | 10 | 36710.00 | | 36632.00 | 500 |
| 58 | 20 | 65513.00 | | 65315.00 | 500 |
| 59 | 30 | 92992.00 | | 92724.00 | 500 |
| 60 | 40 | 119814.00 | | 119524.00 | 500 |
| 61 | 50 | 146195.00 | | 145895.00 | 500 |

C.4 Conjunto I

| | | Dinamico Back. | | Guloso | |
|----|----|----------------|---------|---------|----|
| 1 | | | | | |
| 2 | 10 | 445.00 | 445.00 | 396.00 | 10 |
| 3 | 20 | 932.00 | 932.00 | 765.00 | 10 |
| 4 | 30 | 1404.00 | 1404.00 | 1300.00 | 10 |
| 5 | 40 | 1873.00 | 1873.00 | 1755.00 | 10 |
| 6 | 50 | 2342.00 | 2342.00 | 2259.00 | 10 |
| 7 | | | | | |
| 8 | 10 | 1004.00 | 1004.00 | 943.00 | 20 |
| 9 | 20 | 2002.00 | 2002.00 | 1921.00 | 20 |
| 10 | 30 | 2999.00 | 2999.00 | 2917.00 | 20 |
| 11 | 40 | 3998.00 | 3998.00 | 3924.00 | 20 |
| 12 | 50 | 4998.00 | 4998.00 | 4968.00 | 20 |
| 13 | | | | | |
| 14 | 10 | 1572.00 | 1572.00 | 1550.00 | 30 |
| 15 | 20 | 3141.00 | 3141.00 | 3107.00 | 30 |
| 16 | 30 | 4709.00 | 4709.00 | 4678.00 | 30 |
| 17 | 40 | 6273.00 | 6273.00 | 6236.00 | 30 |
| 18 | 50 | 7835.00 | 7835.00 | 7794.00 | 30 |
| 19 | | | | | |

| | | | | | |
|----|----|-----------|----------|-----------|-----|
| 20 | 10 | 1953.00 | 1953.00 | 1913.00 | 40 |
| 21 | 20 | 3900.00 | 3900.00 | 3838.00 | 40 |
| 22 | 30 | 5841.00 | 5841.00 | 5826.00 | 40 |
| 23 | 40 | 7783.00 | 7783.00 | 7755.00 | 40 |
| 24 | 50 | 9721.00 | 9721.00 | 9683.00 | 40 |
| 25 | | | | | |
| 26 | 10 | 2442.00 | 2442.00 | 2419.00 | 50 |
| 27 | 20 | 4875.00 | 4875.00 | 4850.00 | 50 |
| 28 | 30 | 7298.00 | 7298.00 | 7280.00 | 50 |
| 29 | 40 | 9723.00 | 9723.00 | 9705.00 | 50 |
| 30 | 50 | 12145.00 | 12145.00 | 12122.00 | 50 |
| 31 | | | | | |
| 32 | 10 | 5042.00 | | 5031.00 | 100 |
| 33 | 20 | 10051.00 | | 10047.00 | 100 |
| 34 | 30 | 15054.00 | | 15051.00 | 100 |
| 35 | 40 | 20052.00 | | 20047.00 | 100 |
| 36 | 50 | 25045.00 | | 25035.00 | 100 |
| 37 | 10 | 10213.00 | | 10212.00 | 200 |
| 38 | 20 | 20347.00 | | 20340.00 | 200 |
| 39 | 30 | 30471.00 | | 30469.00 | 200 |
| 40 | 40 | 40575.00 | | 40571.00 | 200 |
| 41 | 50 | 50671.00 | | 50670.00 | 200 |
| 42 | | | | | |
| 43 | 10 | 15045.00 | | 15043.00 | 300 |
| 44 | 20 | 29979.00 | | 29978.00 | 300 |
| 45 | 30 | 44890.00 | | 44888.00 | 300 |
| 46 | 40 | 59783.00 | | 59782.00 | 300 |
| 47 | 50 | 74663.00 | | 74659.00 | 300 |
| 48 | | | | | |
| 49 | 10 | 20284.00 | | 20283.00 | 400 |
| 50 | 20 | 40427.00 | | 40427.00 | 400 |
| 51 | 30 | 60540.00 | | 60538.00 | 400 |
| 52 | 40 | 80626.00 | | 80625.00 | 400 |
| 53 | 50 | 100686.00 | | 100686.00 | 400 |
| 54 | | | | | |
| 55 | 10 | 25368.00 | | 25368.00 | 500 |
| 56 | 20 | 50556.00 | | 50556.00 | 500 |
| 57 | 30 | 75714.00 | | 75714.00 | 500 |
| 58 | 40 | 100834.00 | | 100834.00 | 500 |
| 59 | 50 | 125928.00 | | 125928.00 | 500 |